

# Fizyka cząstek: detektory

prof. dr hab. A.F.Żarnecki

Zakład Cząstek i Oddziaływań Fundamentalnych IFD

## Wykład IV

- Kalorymetry elektromagnetyczne
- Kalorymetry hadronowe

## Kalorymetry

### Kaskady hadronowe

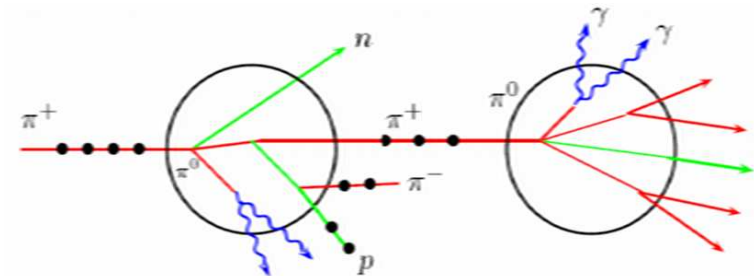
Tak jak w przypadku kaskad elektromagnetycznych, energia cząstki pierwotnej tracona jest w wielu kolejnych (silnych) oddziaływaniach z absorberem.

Zachodzące procesy są jednak dużo bardziej złożone.

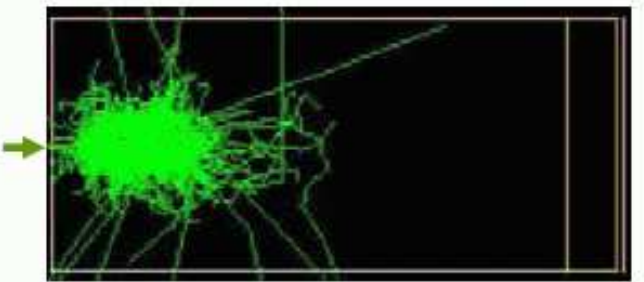
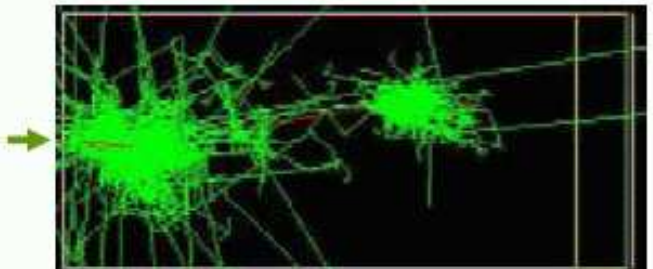
Oprócz produkcji wysokoenergetycznych cząstek wtórnych energia tracona jest na procesy jądrowe: wzbudzenia, rozszczepienia i energie odrzutu jąder.

Produkowane są cząstki o energiach rzędu MeV.

Część energii jest “niewidoczna” (procesy jądrowe, neutrina z rozpadów). Fluktuacje  $\Rightarrow$  zdolność rozdzielcza dużo gorsza niż dla kaskad E-M



20 GeV  $\pi$  in copper (simulation)



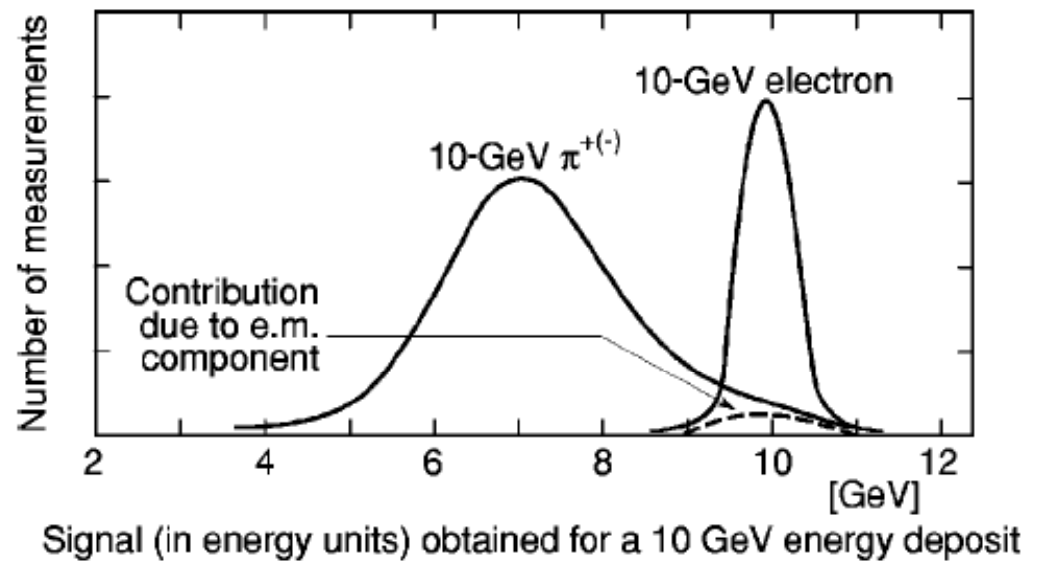
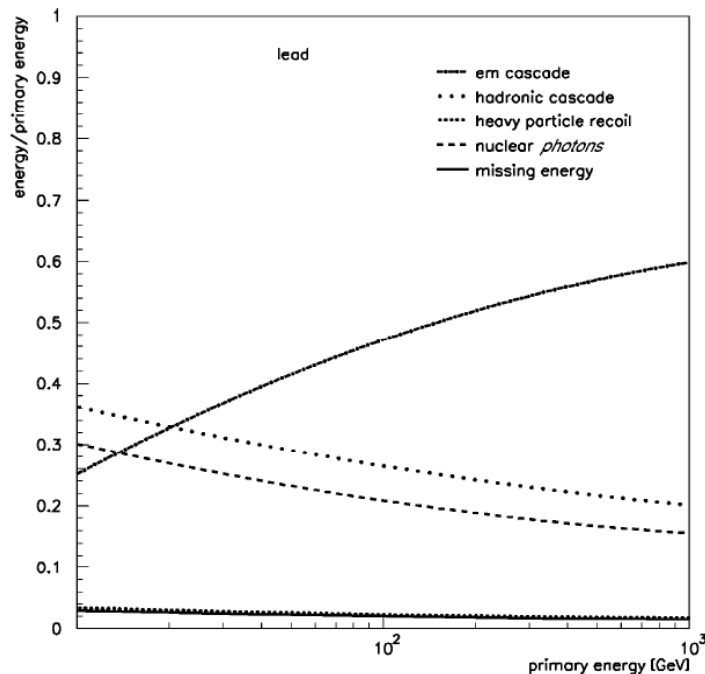
J.P. Wellisch

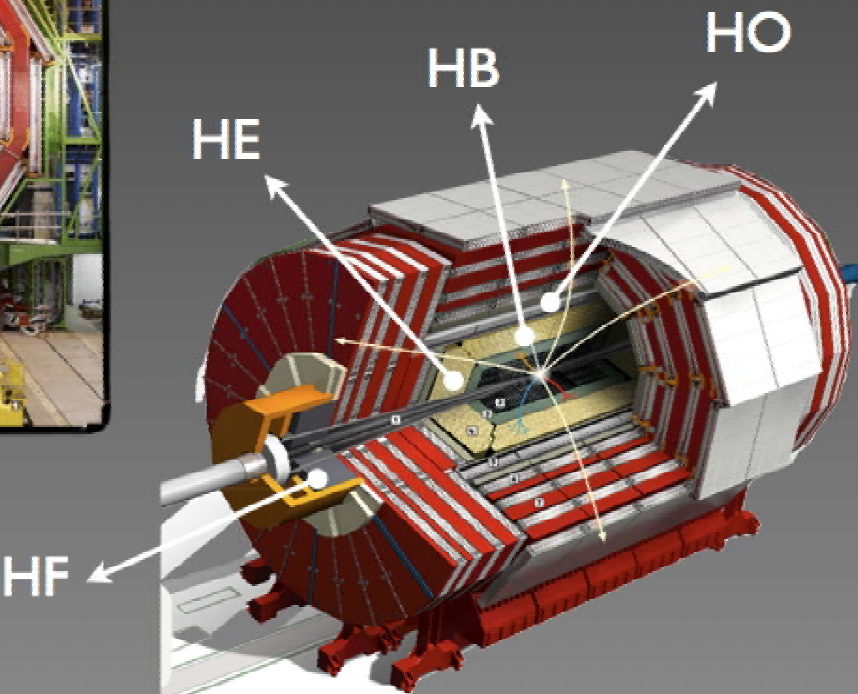
# Kalorymetry

## Kaskady hadronowe

Rzędu połowy energii kaskady hadronowej deponowane jest w postaci składowej elektromagnetycznej, pojawiającej się w wyniku rozpadu  $\pi^0$

Składowa ta podlega bardzo dużym fluktuacjom  $\Rightarrow$  duży wkład do rozdzielczości  
Średni udział składowej E-M rośnie z energią  $\Rightarrow$  nieliniowość



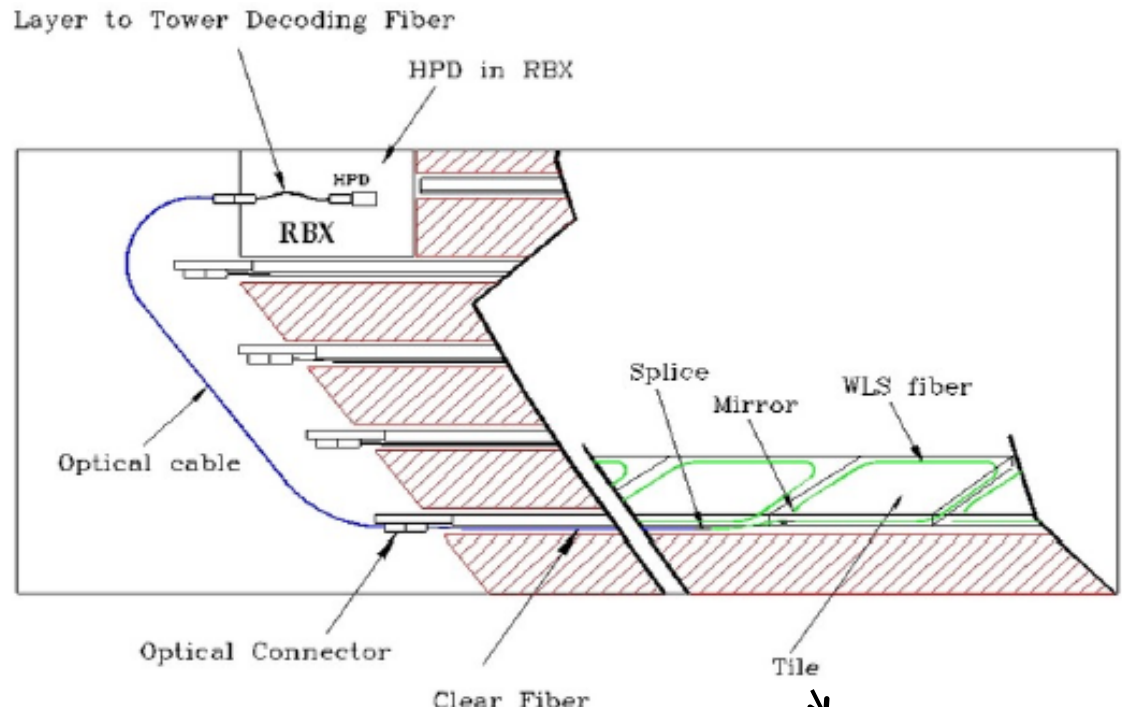


Detector	Active Material	Absorber	Readout	# Channels
HB/HE/HO	Scintillator Tile	Brass	Hybrid Photo-Diode (HPD)	2592/2592/2160
HF	Quartz Fiber	Steel	PMT	1728

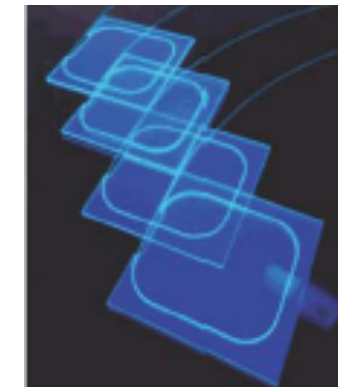
# CMS HCAL -- Barrel

Common technology used for HCAL Barrel and Endcap

Insertion of tiles into wedge



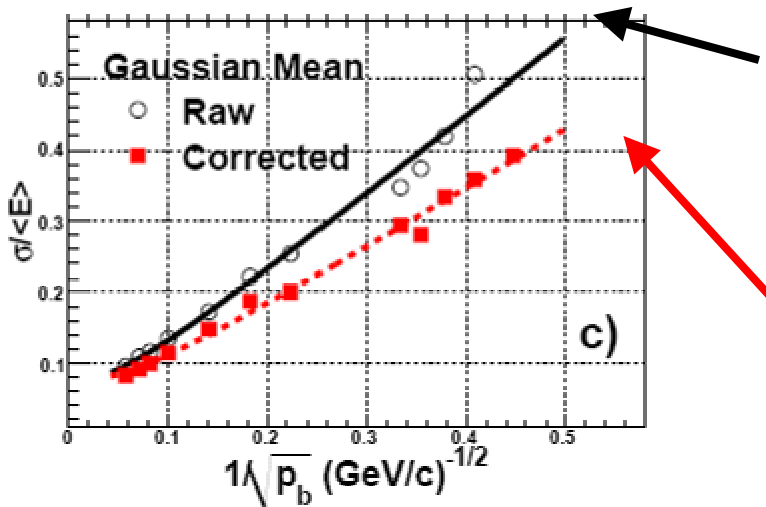
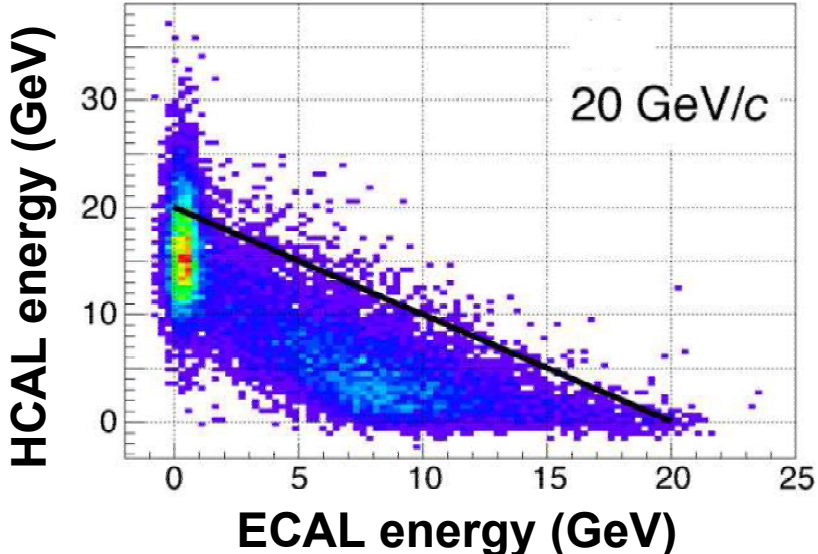
Tile and  
WLS  
fiber



# Non-compensation effect on energy resolution

TEST-BEAM

CMS HCAL+ECAL single pion energy response



1) Non compensation  $e/h \sim 1.4$  causes intrinsic sensitivity to fluctuations in the electromagnetic component of the shower and non linearity. Non-linearity can be corrected.

$$\frac{\sigma(E)}{E} = \frac{110.7\%}{\sqrt{E}} \oplus 7.3\%$$

$$\frac{\sigma(E)}{E} = \frac{84.7\%}{\sqrt{E}} \oplus 7.4\%$$

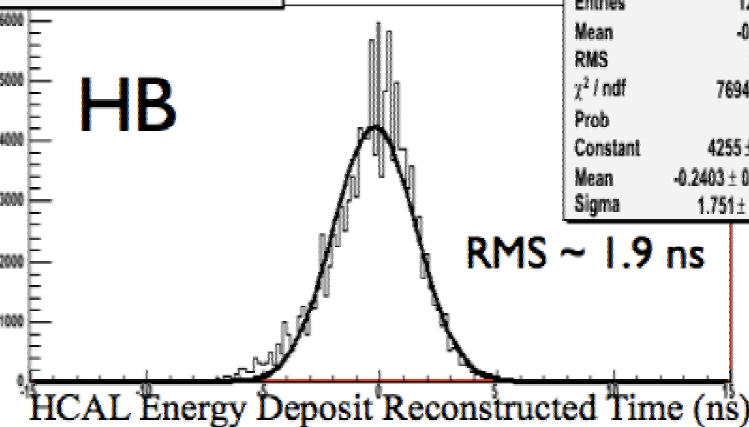
# Timing Synchronization

Before

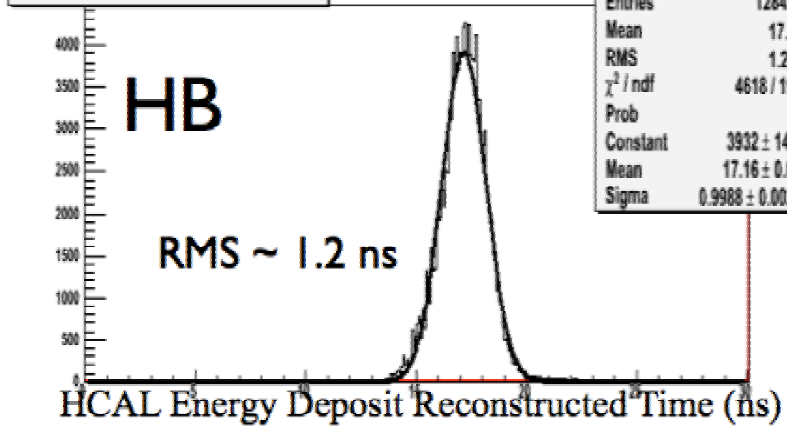
After

CMS DP 2009-014

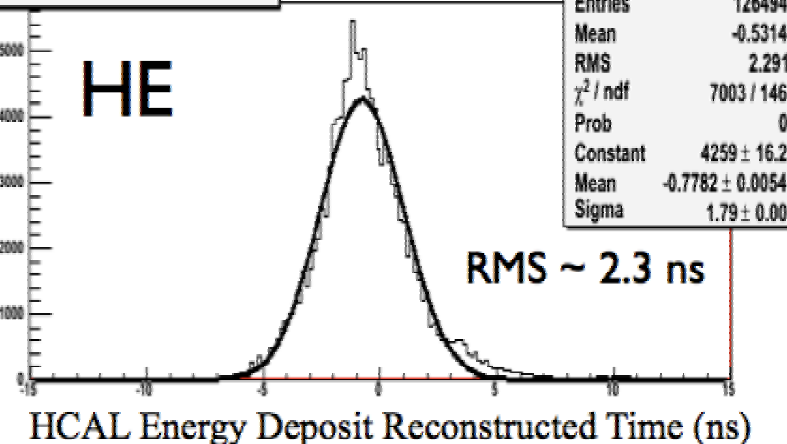
Run 120015: HB individual tower timing (ns)



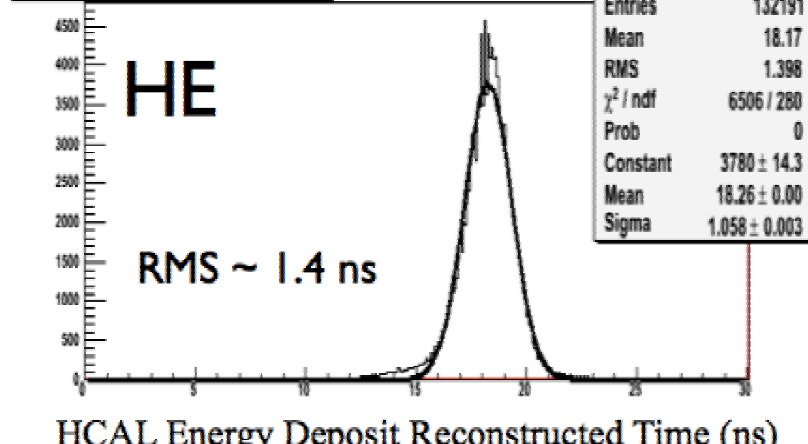
Run 121993: HB individual tower timing (ns)



Run 120015: HE individual tower timing (ns)



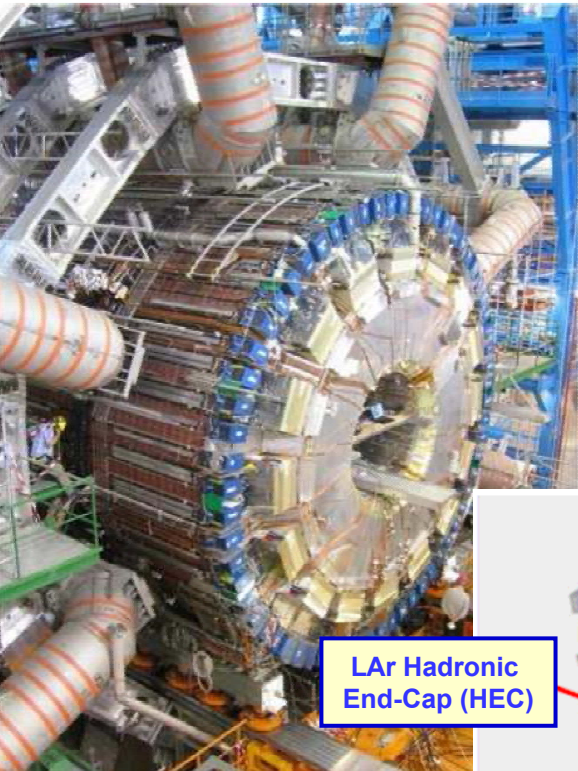
Run 121993: HE individual tower timing (ns)



Splash in 2009



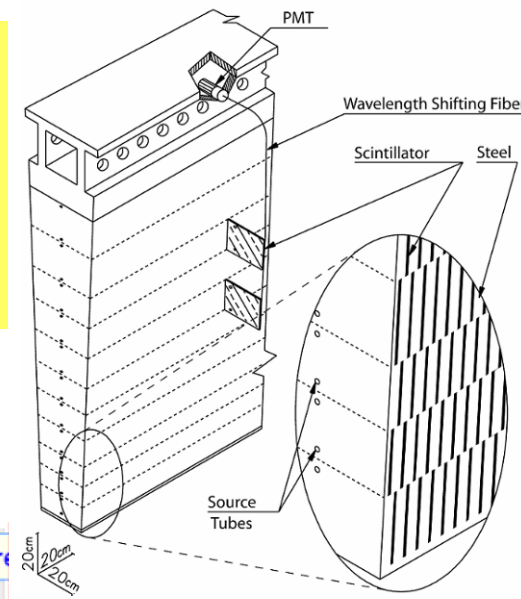
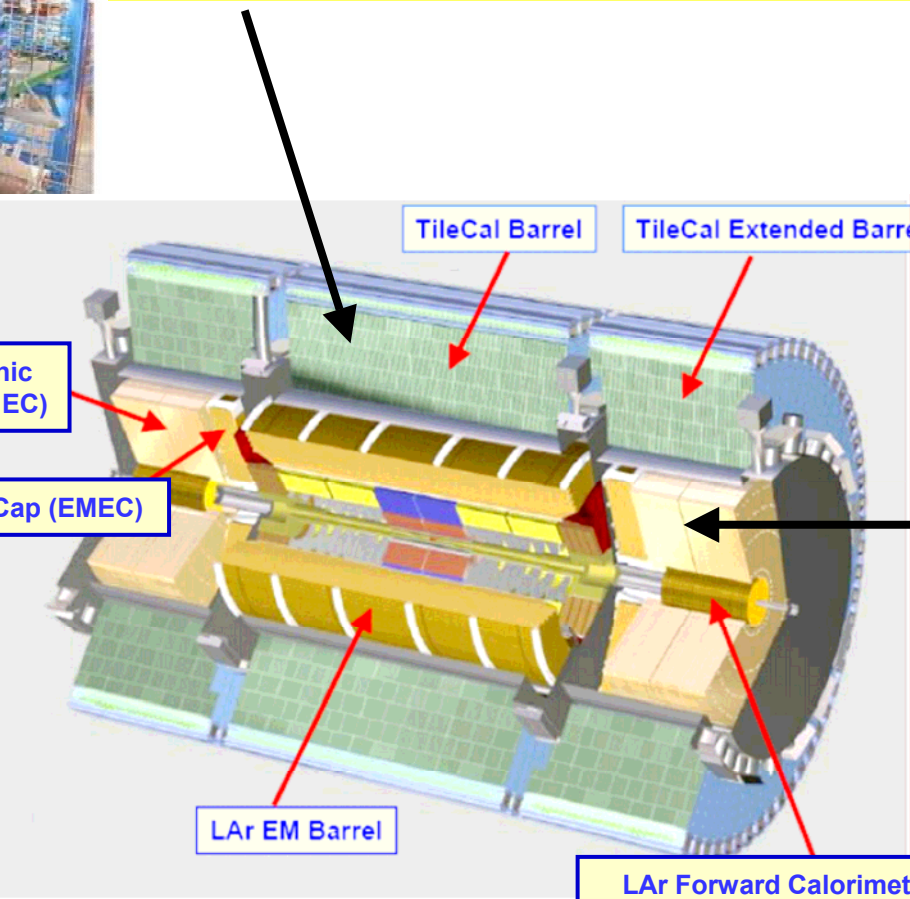
# The ATLAS HCAL



TALK

## Barrel HCAL (TileCal):

Steel/Plastic scintillator. Tiles perpendicular to beam axis.  
Wavelength shifting fibers carry light to PMT. It covers  $|\eta|<1.7$



## Endcap HCAL (HEC):

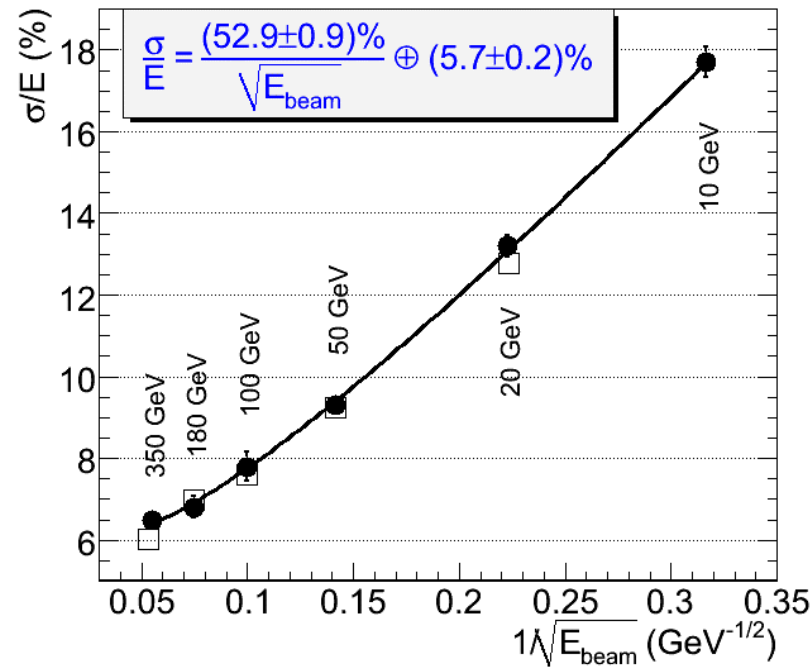
Cu-LAr 4 wheels  
 $10 \lambda$   
4 longitudinal samplings  
 $\Delta\eta \times \Delta\phi = 0.1 \times 0.1$  and  
 $0.2 \times 0.2$  for  $|\eta|>2.5$



# The ATLAS HCAL performance

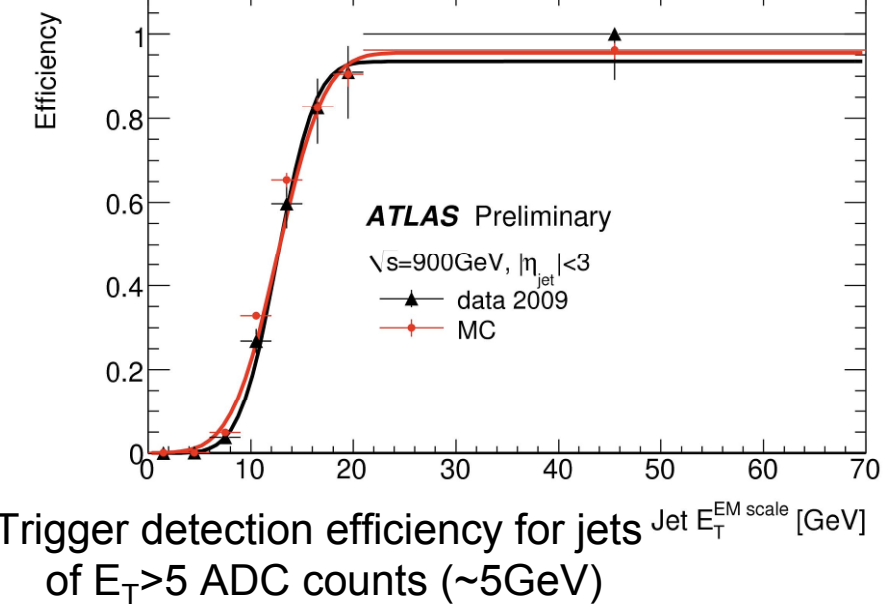
## Test-beam Energy resolution for pions

TEST-BEAM



Tile calorimeter channels 9800 97.3% operational  
Hadr. Endc. LAr channels 5600 99.9% operational  
Forward LAr channels 3500 100% operational

2009 COLLISIONS



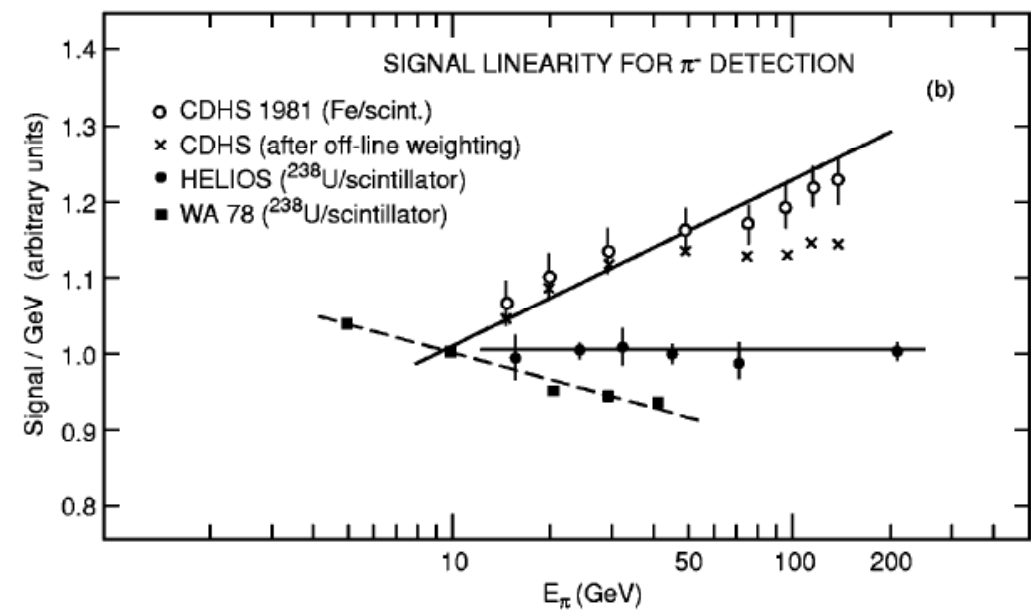
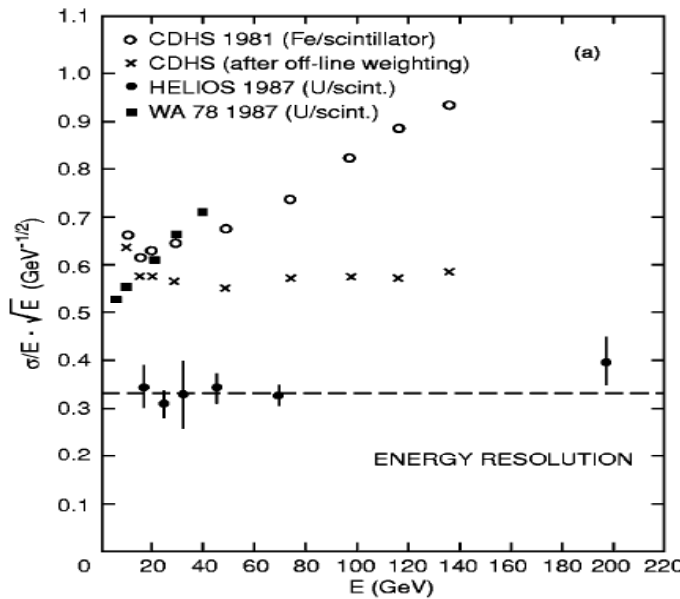
# Kalorymetry

## Kompensacja

Pomiar energii kaskad hadronowych można istotnie polepszyć jeśli zrównamy odpowiedź kalorymetru dla składowej hadronowej i elektromagnetycznej  $\Rightarrow$  kompensacja

Kalorymetr ma wtedy taką samą odpowiedź dla elektronów i hadronów:  $e/h = 1$

Kompensacje można uzyskać poprzez odpowiednią konstrukcję detektora  
(dobór materiału i grubości warstw)



## Kalorymetry

### Kompensacja

Aby uzyskać kompensację należy:

- tłumić odpowiedź detektora dla składowej E-M
- odzyskać przynajmniej część energii traconej w procesach jądrowych

Kompensujące kalorymetry próbkujące zbudowano z powodzeniem stosując uran lub ołów jako absorbery + scyntylatory organiczne jako materiał aktywny

Ciężki (duże  $Z$ ) absorber i lekki (małe  $Z$ ) materiał aktywny

⇒ składowa hadronowa jest efektywniej próbkowana niż składowa EM

$$U : \quad \lambda_{int} \approx 33X_0$$

$$Sci : \quad \lambda_{int} \approx 1.9X_0$$

$$\frac{(\Delta\lambda_{int})_{Sci}}{(\Delta\lambda_{int})_U} \approx 18 \frac{(\Delta X_0)_{Sci}}{(\Delta X_0)_U}$$

W scyntylatorze organicznym można “odzyskać” część energii licznie produkowanych w procesach jądrowych neutronów dzięki ich elastycznym rozproszeniom na protonach.

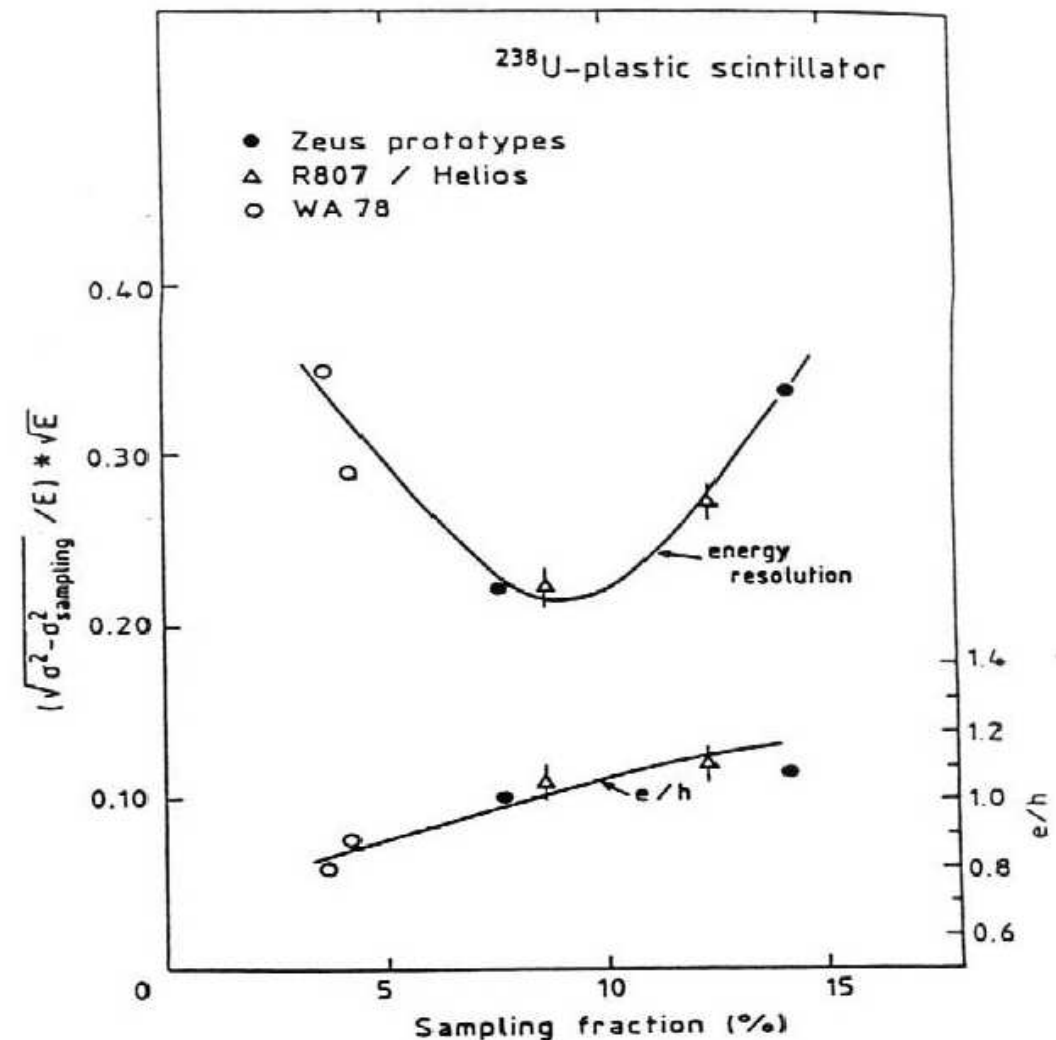
# Kalorymetry

## Kompensacja

Procesy leżące u podstaw rozwoju kaskady hadronowej wciąż nie są dostatecznie dobrze poznane.

W latach 80 symulacje komputerowe nie były jeszcze dobrze rozwinięte.

Parametry potrzebne do uzyskania kompensacji trzeba było dobrać doświadczalnie.



# Kalorymetry

## Kalorymetr detektora ZEUS

Płyty uranowe 3.3 mm  
w kopertach ze stali nierdzewnej.

Płyty scyntylatora 2.6 mm

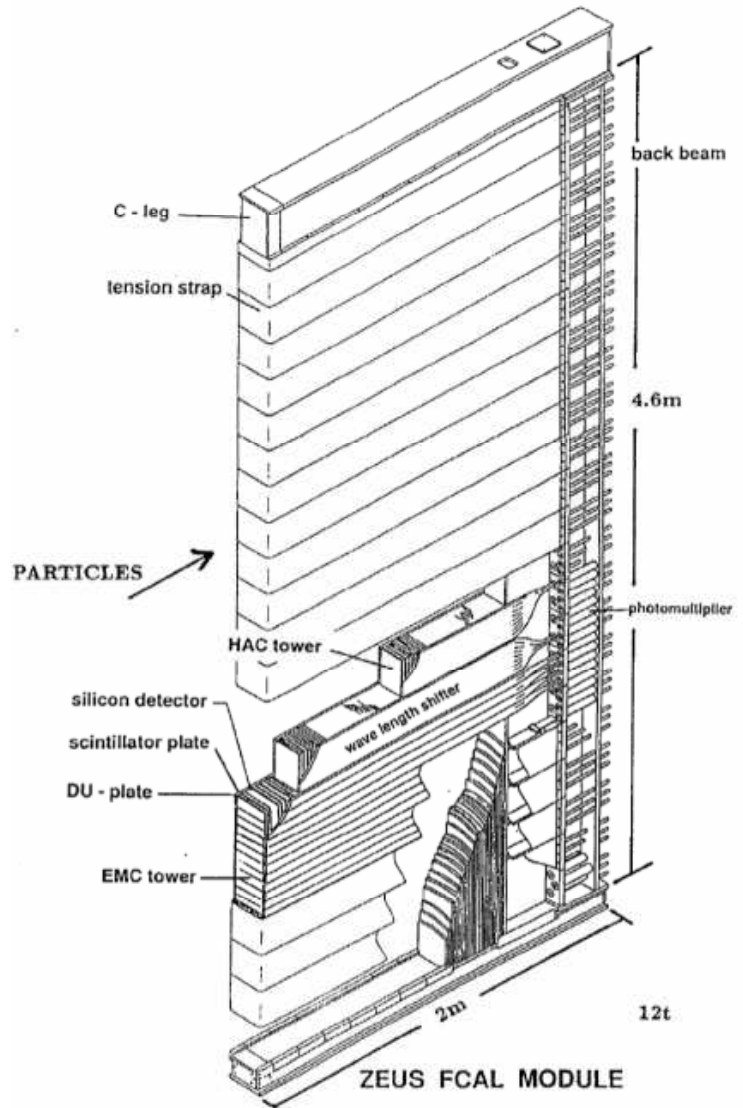
$$\frac{e}{h} = 1.00 \pm 0.02$$

Podział podłużny na sekcję elektromagnetyczną  
i dwie sekcje hadronowe

$$\frac{\sigma}{E} \approx \frac{18\%}{\sqrt{E}} \quad \text{dla elektronów}$$

$$\frac{\sigma}{E} \approx \frac{35\%}{\sqrt{E}} \quad \text{dla hadronów}$$

w warunkach testowych



# Kalorymetry

## Kompensacja algorytmiczna

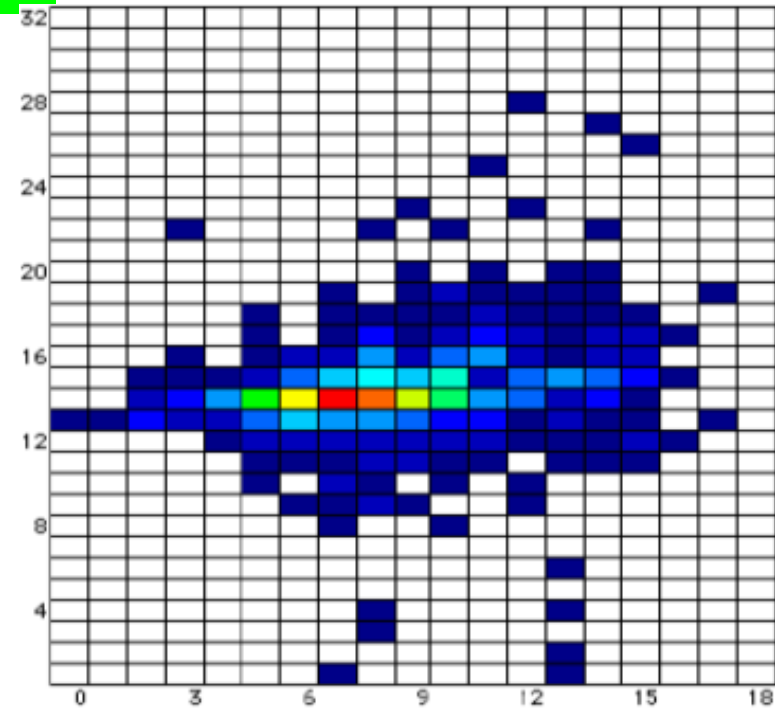
Jeśli nie dobierzemy odpowiednio materiałów absorbera i detektora odpowiedź kalorymetru na część elektromagnetyczną i hadronową kaskady będą różne.

Odpowiedź kalorymetru na pojedynczy hadron:

$$E_{meas} = (f_{em} + (1 - f_{em})/\eta_{had}) \cdot E$$

gdzie:  $f_{em}$  - ułamek energii w części EM,  
 $\eta_{had}$  - tłumienie składowej hadrowej ( $\sim 1.4$ )

Jeśli jesteśmy w stanie zrekonstruować  $f_{em}$  możemy istotnie **polepszyć dokładność pomiaru**.



W kalorymetrze od dużej segmentacji część EM kaskady widoczna jest jako **silnie zlokalizowane depozyty** ( $X_0 \ll \lambda_{int}$ )  
⇒ można oszacować  $f_{em}$

# Kalorymetry

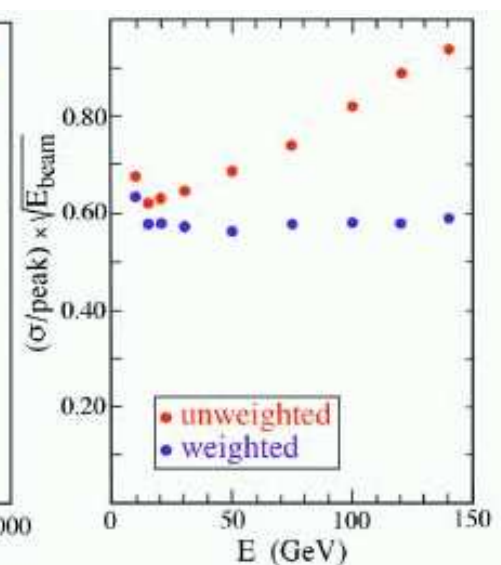
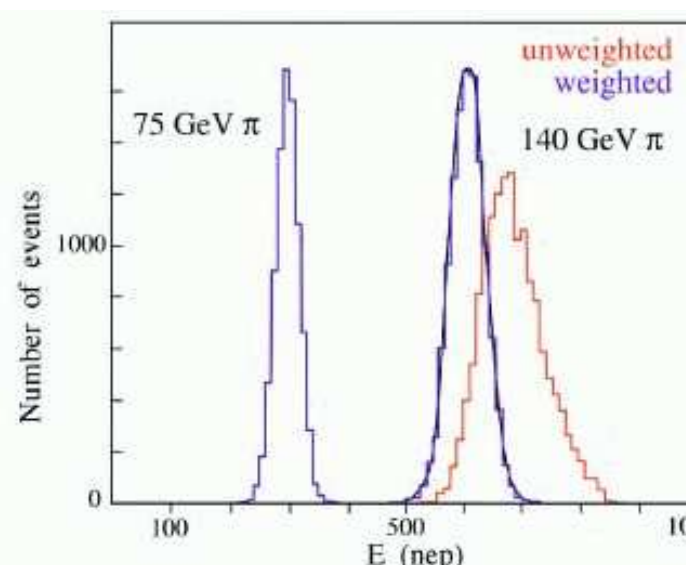
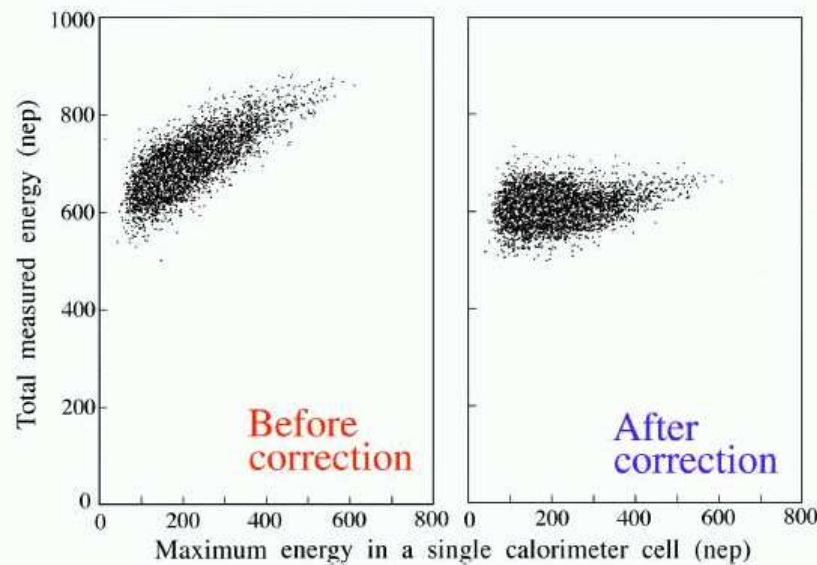
## Kompensacja algorytmiczna

Po raz pierwszy zastosowana w eksperymencie WA1.

Składowa EM oceniana na podstawie maksymalnego depozytu w pojedynczej celi.

Znacząca poprawa rozdzielczości, zwłaszcza dla dużych energii.

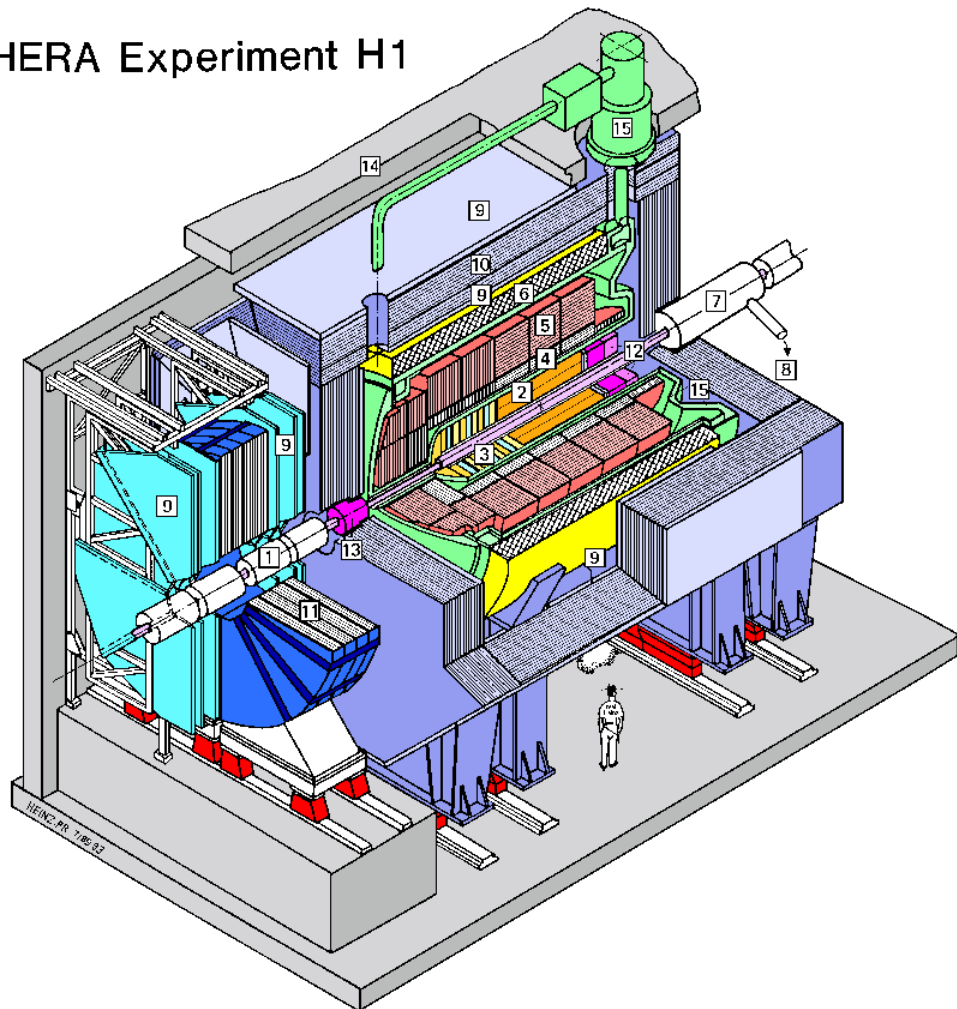
Działa tylko dla pojedynczych cząstek.



# Kalorymetry

## Kalorymetr detektora H1

HERA Experiment H1

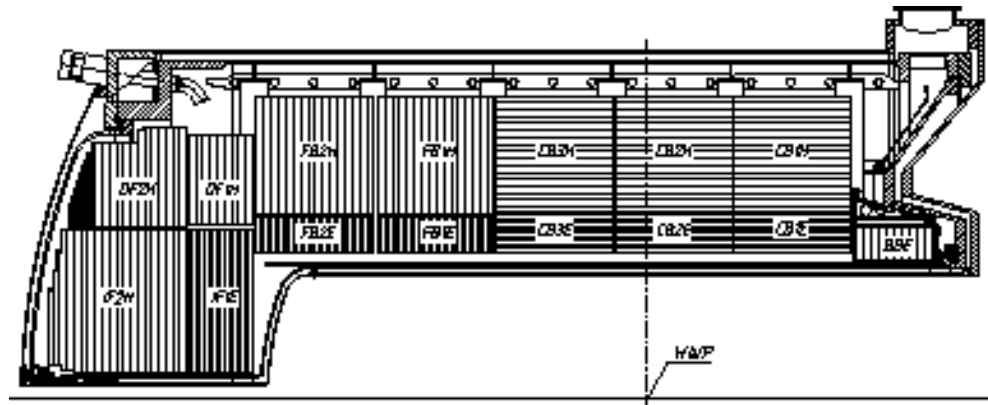


Kalorymetr z **ciekłym argonem**.

Łącznie  $53\ m^3$ , napięcie odczytu 1.5 kV  
przy 2.4 mm warstwach LAr.

Absorber: **ołów** w części EM,  
**stal** w części hadronowej.

45 000 segmentów odczytu (“cel”)



# Kalorymetry

## Kalorymetr detektora H1

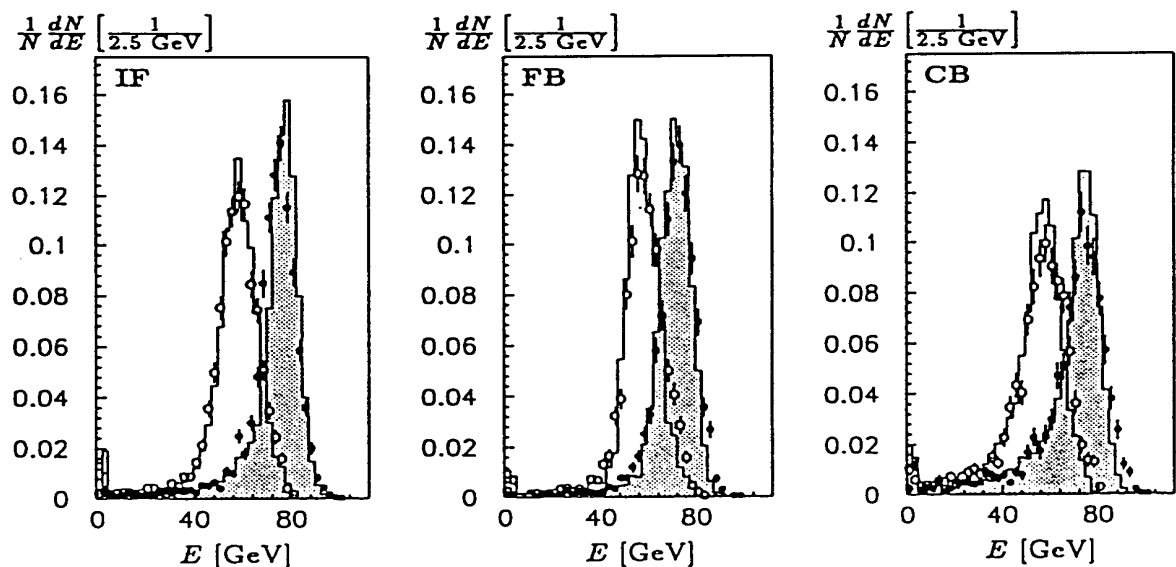
Algorytm kompensacji w pomiarze energii:

$$E_{rec} = \sum_{i \in cele} E^i \cdot \left[ a + b \cdot \exp\left(\frac{-\alpha E^i}{V^i}\right) \right]$$

$E^i$  - energia zmierzona w danej celi,  $V^i$  - jej objętość,  $a$ ,  $b$  i  $\alpha$  - współczynniki algorytmu

Rekonstrukcja energii pionu 80 GeV w różnych częściach kalorymetru (przed i po poprawkach)

$$\frac{\sigma_E}{E} \approx \frac{70\%}{\sqrt{E}} \rightarrow \frac{55\%}{\sqrt{E}}$$



# Kalorymetry

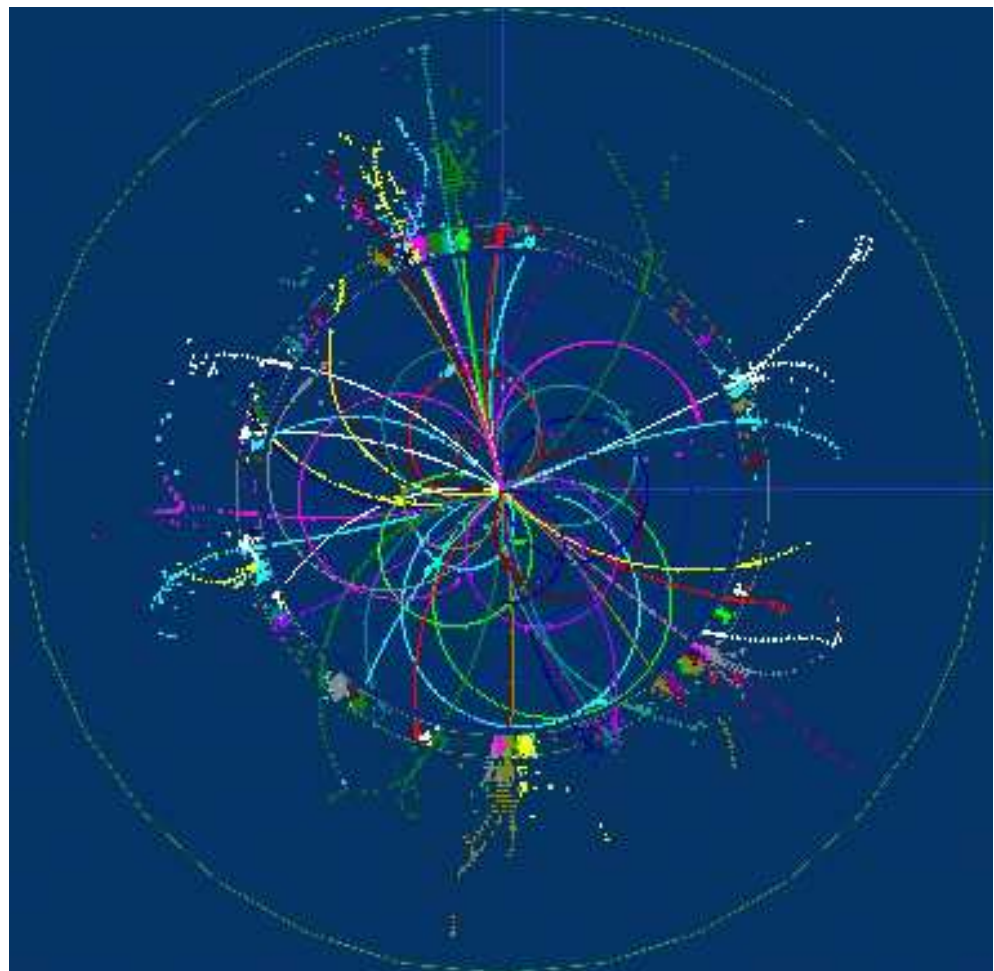
## Nowe koncepcje

Propozycja kalorymetru  
dla detektora przy ILC

Detektor wyposażony w “kalorymetr śladowy” umożliwia pełną identyfikację wszystkich produkowanych cząstek i optymalny pomiar energii.

## PFA - Particle Flow Algorithm

rekonstrukcja przypadku “cząstka po cząstce” na podstawie informacji z kalorymetrów i detektorów śladowych



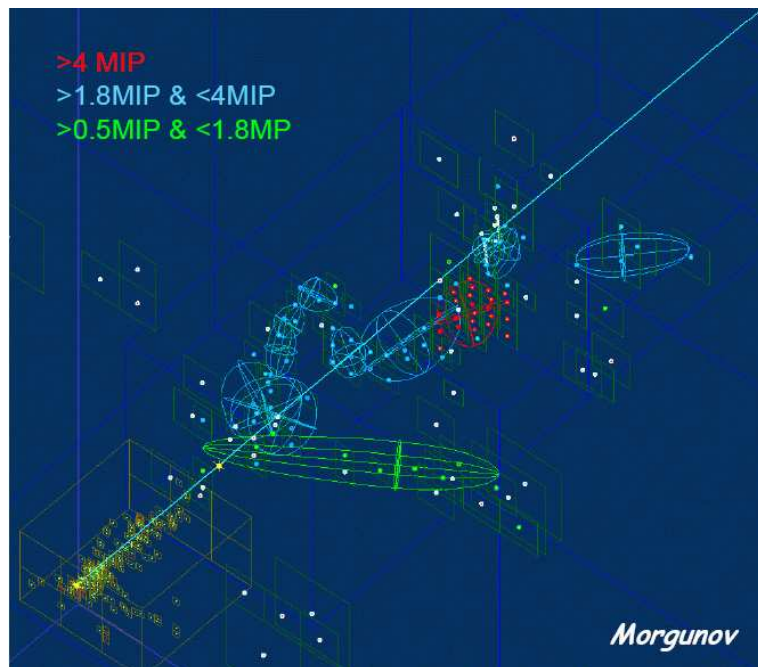
# Kalorymetry

## Nowe koncepcje

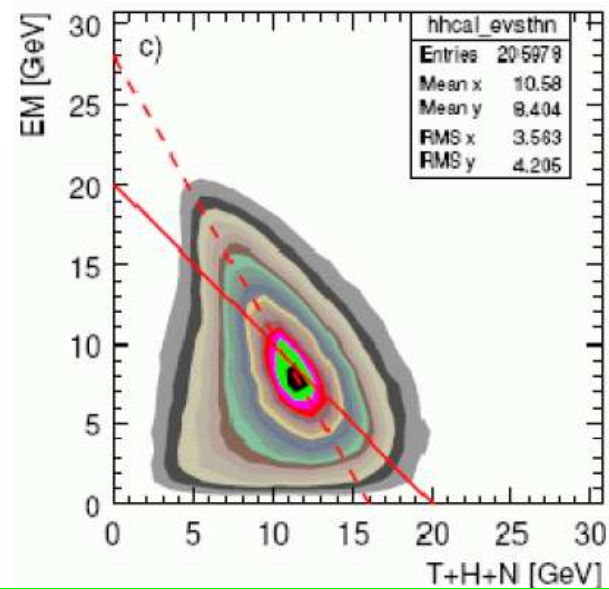
### Kalorymetr śladowy

Na podstawie “śladów” mierzonych w kalorymerze można depozyt energii podzielić na wkłady od **kaskad E-M, naładowanych hadronów, neutronów i jonizację**.

Powinno to pozwolić rekonstruować całkowitą energię kaskady hadronowych z dokładnością rzędu  $\frac{\sigma_E}{E} \approx \frac{30\%}{\sqrt{E}}$  (przy  $E \sim 100$  GeV)



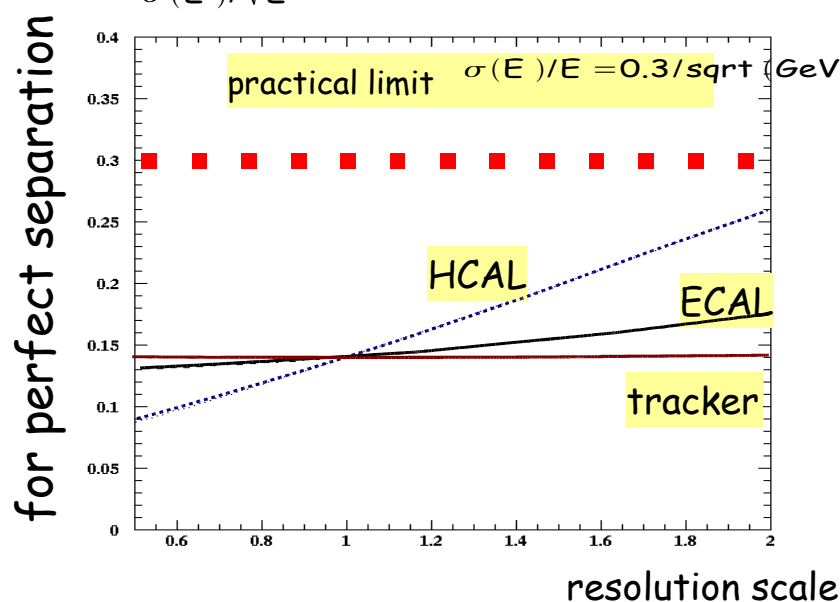
Korelacja części EM i pozostałych składowych dla 20 GeV  $\pi^+$



# Particle Flow: Basics

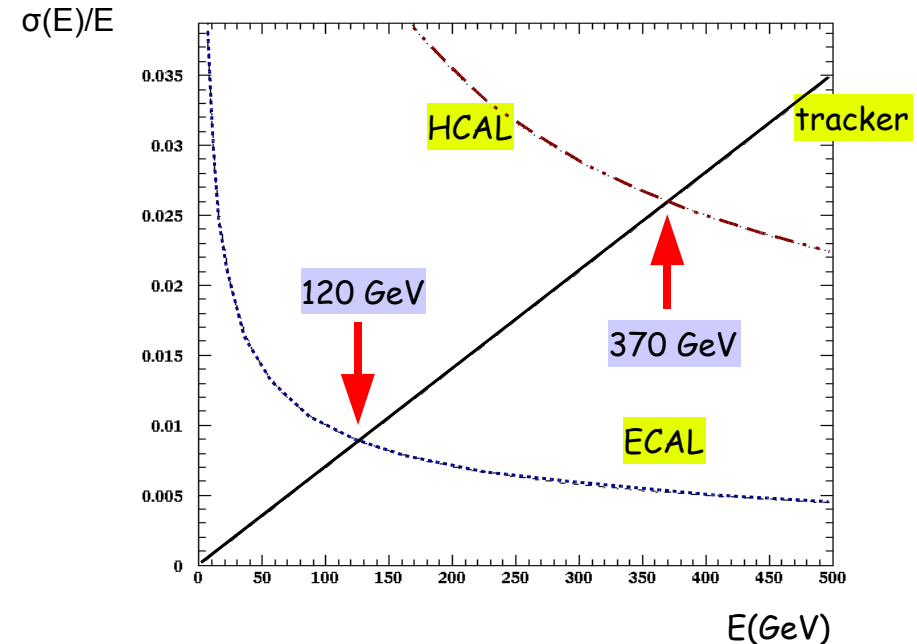
$$\sigma(\text{Jet}) = \sqrt{\sum \epsilon_T^2 E_i^4 + \sum \epsilon_{\text{ECAL}}^2 E_i + \sum \epsilon_{\text{HCAL}}^2 E_i}$$

Resolution is dominated by **HCAL**  
and by  
“confusion” term



Effect of changing the  
resolutions by a scale factor

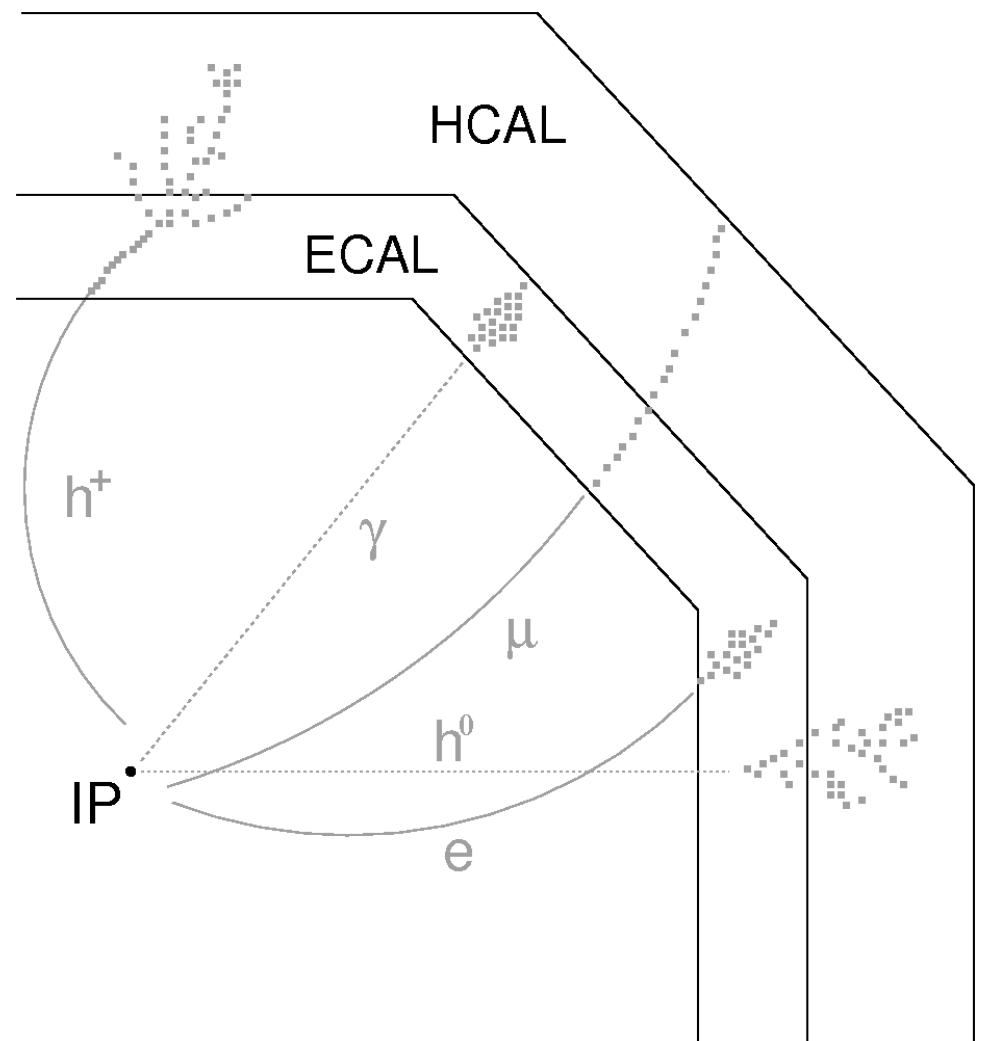
Resolution tracker - Calorimeter



design detector to

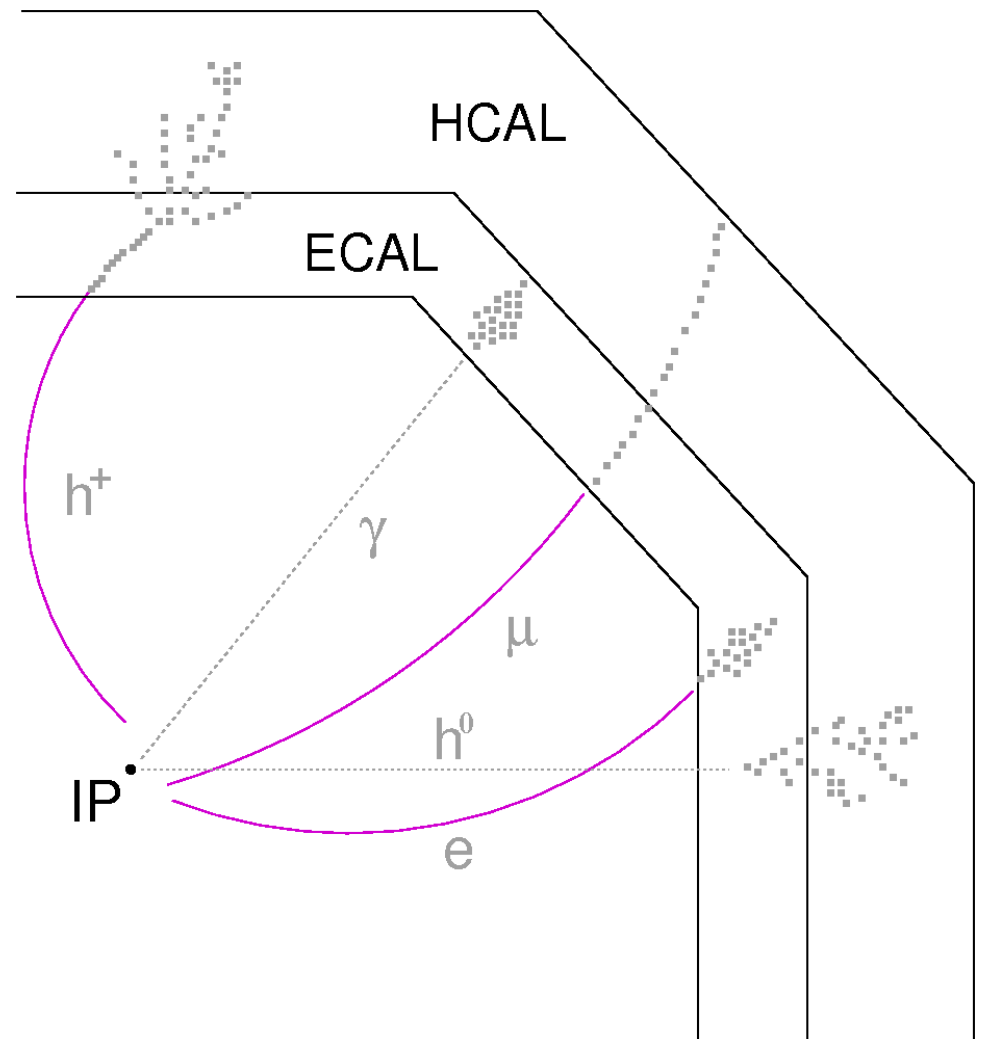
- minimize confusion term
- minimize the role of the HCAL
- for the rest: build the best HCAL possible

# Track-Based Particle Flow Concept



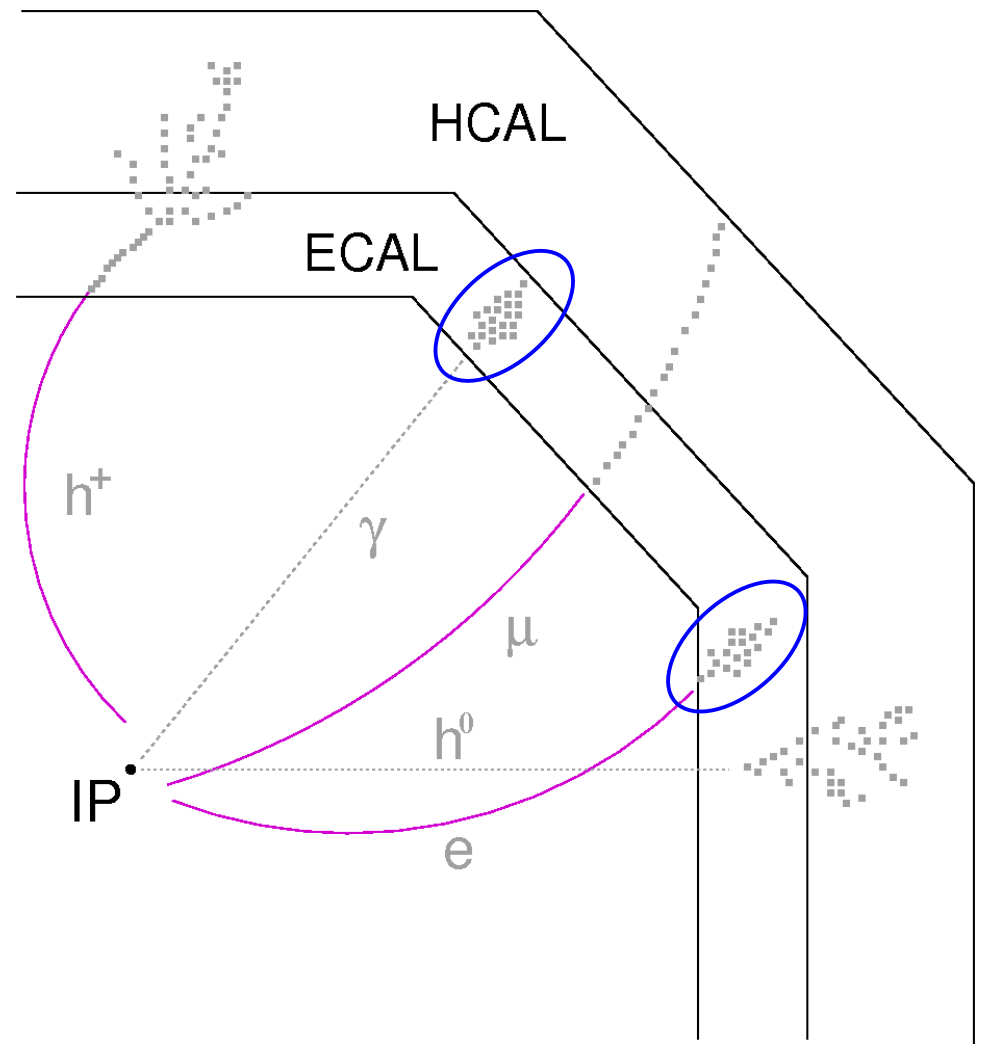
# Track-Based Particle Flow Concept

## 1. tracking (Silicon and TPC)



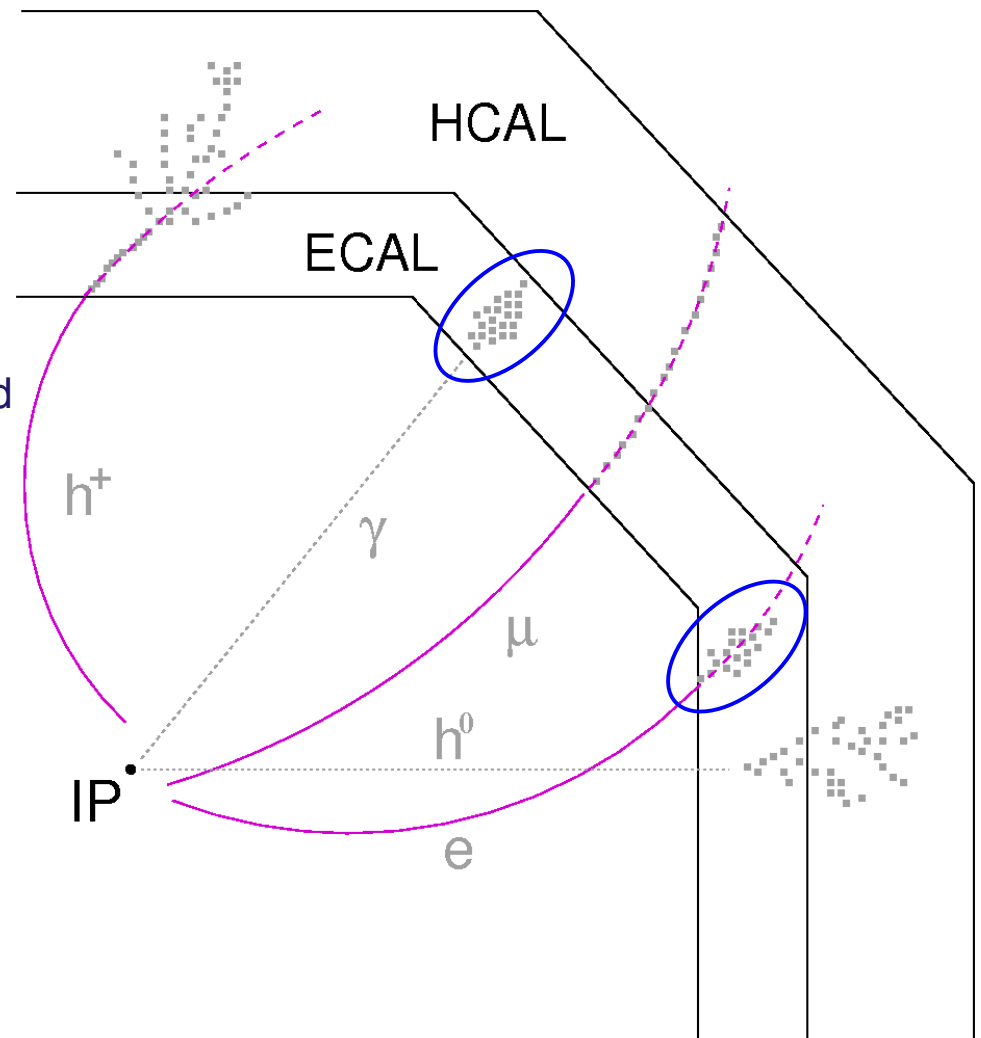
# Track-Based Particle Flow Concept

1. tracking (Silicon and TPC)
2. find photon candidates



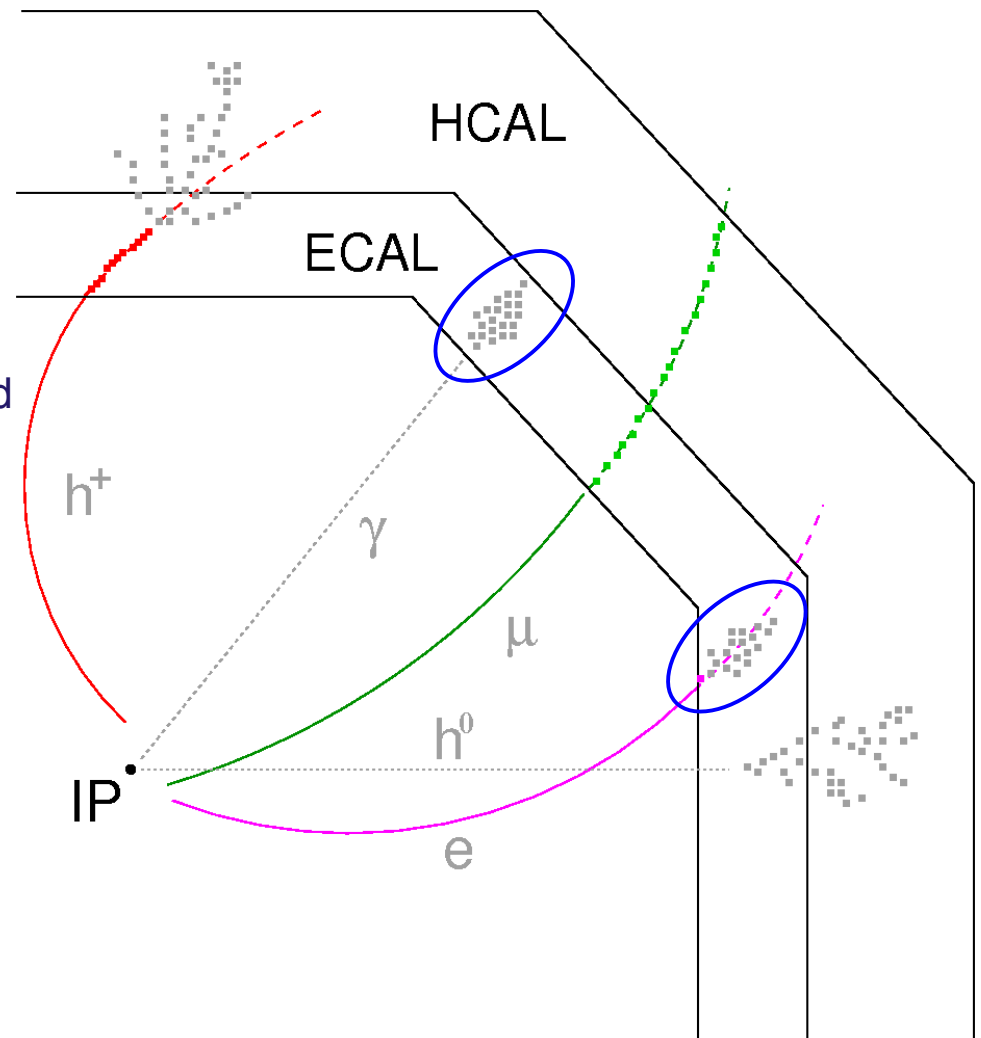
# Track-Based Particle Flow Concept

1. tracking (Silicon and TPC)
2. find photon candidates
3. extrapolate tracks into Calorimeter
  - different models, with and w/o energy loss, multiple scattering, ...
  - dedicated Geometry description needed



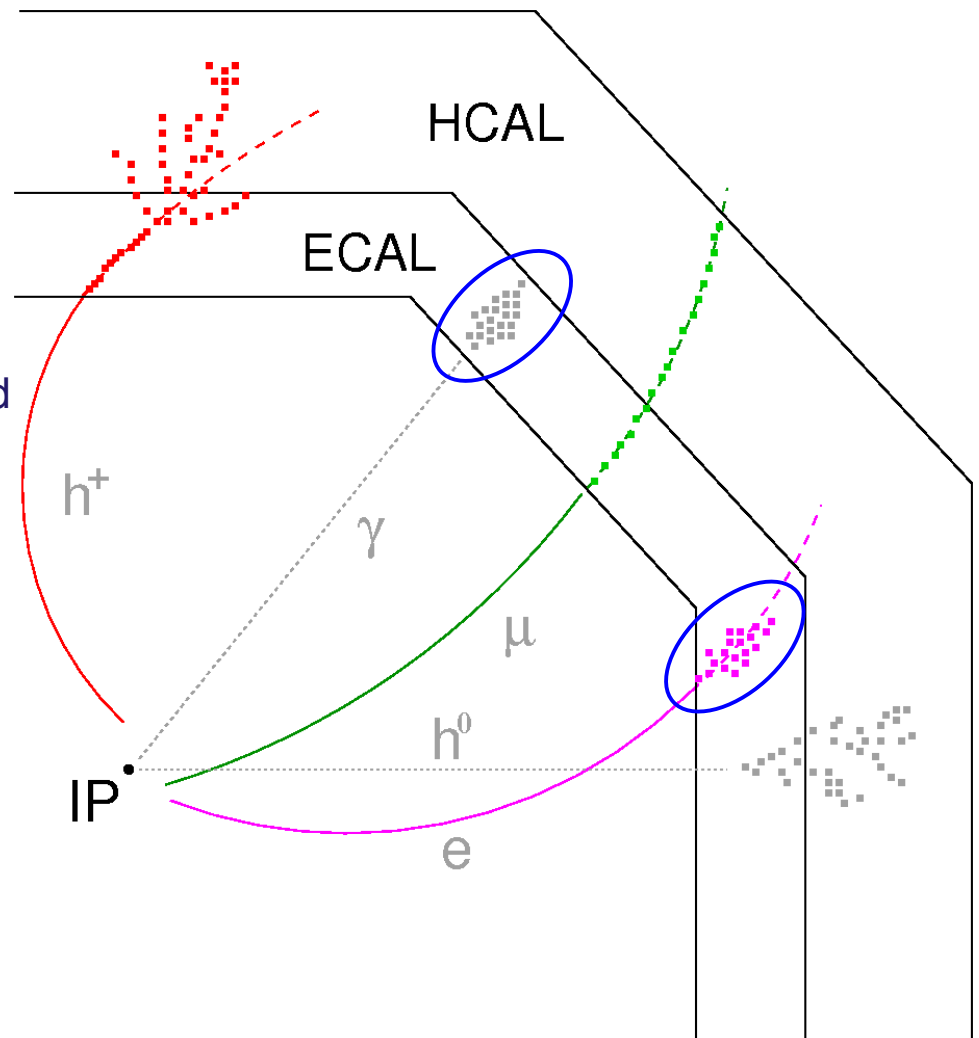
# Track-Based Particle Flow Concept

1. tracking (Silicon and TPC)
2. find photon candidates
3. extrapolate tracks into Calorimeter
  - different models, with and w/o energy loss, multiple scattering, ...
  - dedicated Geometry description needed
4. assign MIP stub to track, find muons



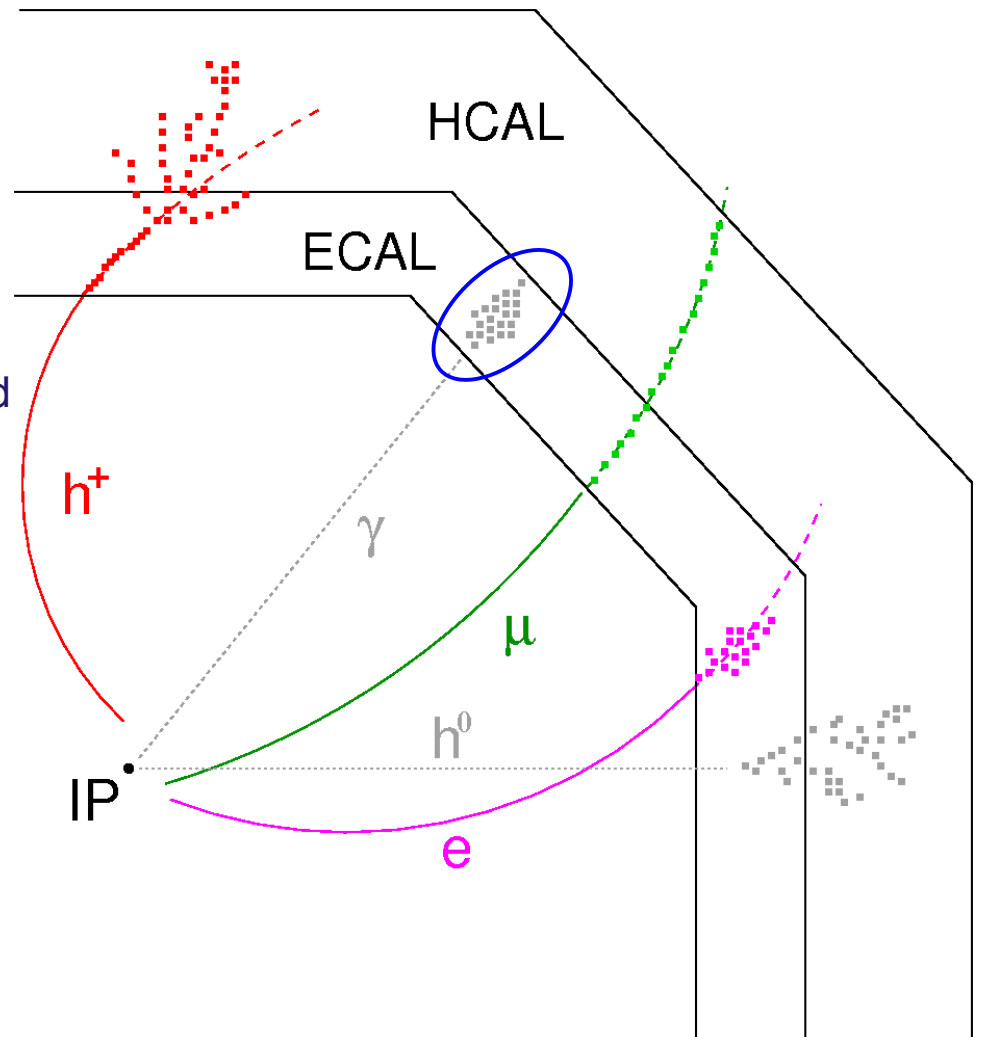
# Track-Based Particle Flow Concept

1. tracking (Silicon and TPC)
2. find photon candidates
3. extrapolate tracks into Calorimeter
  - different models, with and w/o energy loss, multiple scattering, ...
  - dedicated Geometry description needed
4. assign MIP stub to track, find muons
5. clustering (ECAL and HCAL)
  - variable, depending on track and photon candidates
  - different algorithms



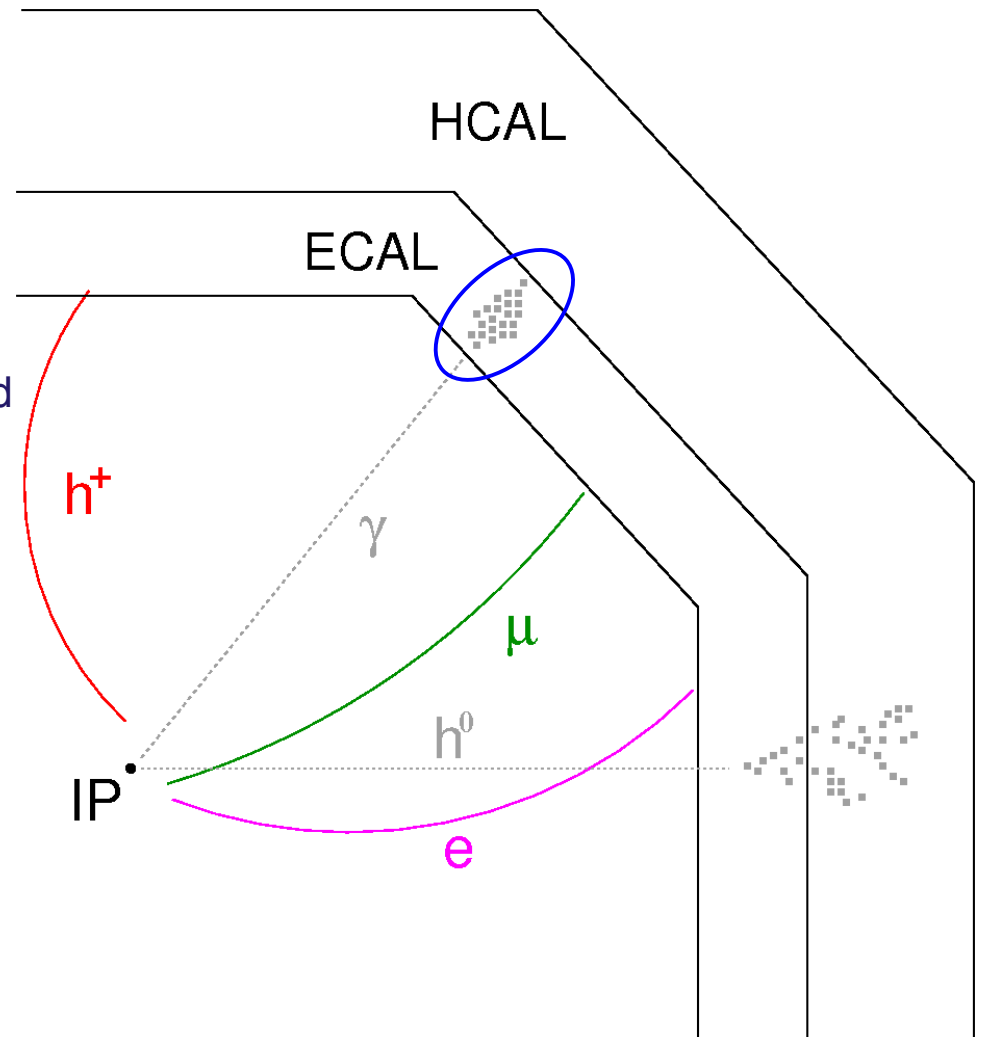
# Track-Based Particle Flow Concept

1. tracking (Silicon and TPC)
2. find photon candidates
3. extrapolate tracks into Calorimeter
  - different models, with and w/o energy loss, multiple scattering, ...
  - dedicated Geometry description needed
4. assign MIP stub to track, find muons
5. clustering (ECAL and HCAL)
  - variable, depending on track and photon candidates
  - different algorithms
6. particle ID for  $e^{+/-}$ ,  $h^{+/-}$



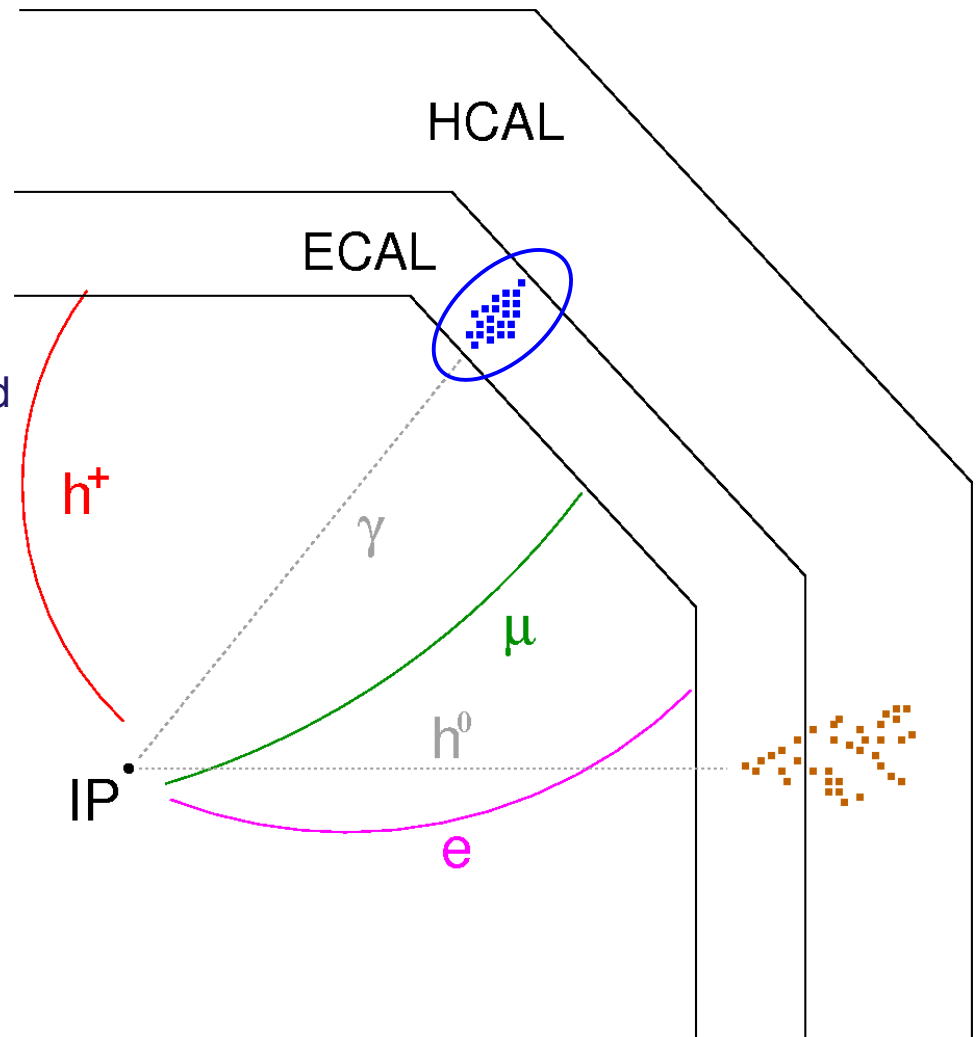
# Track-Based Particle Flow Concept

1. tracking (Silicon and TPC)
2. find photon candidates
3. extrapolate tracks into Calorimeter
  - different models, with and w/o energy loss, multiple scattering, ...
  - dedicated Geometry description needed
4. assign MIP stub to track, find muons
5. clustering (ECAL and HCAL)
  - variable, depending on track and photon candidates
  - different algorithms
6. particle ID for  $e^{+/-}$ ,  $h^{+/-}$
7. remove 'charged' Calorimeter hits



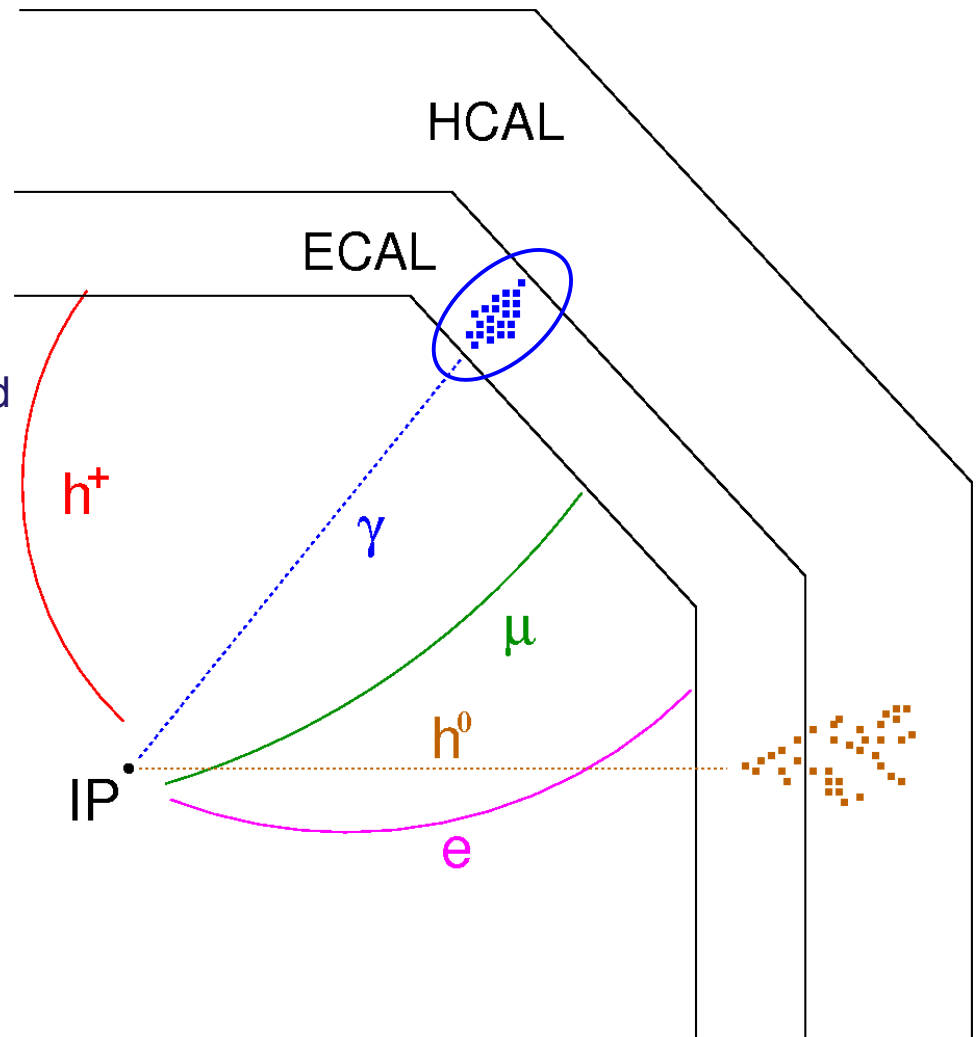
# Track-Based Particle Flow Concept

1. tracking (Silicon and TPC)
2. find photon candidates
3. extrapolate tracks into Calorimeter
  - different models, with and w/o energy loss, multiple scattering, ...
  - dedicated Geometry description needed
4. assign MIP stub to track, find muons
5. clustering (ECAL and HCAL)
  - variable, depending on track and photon candidates
  - different algorithms
6. particle ID for  $e^{+/-}$ ,  $h^{+/-}$
7. remove 'charged' Calorimeter hits
8. clustering on 'neutral' hits



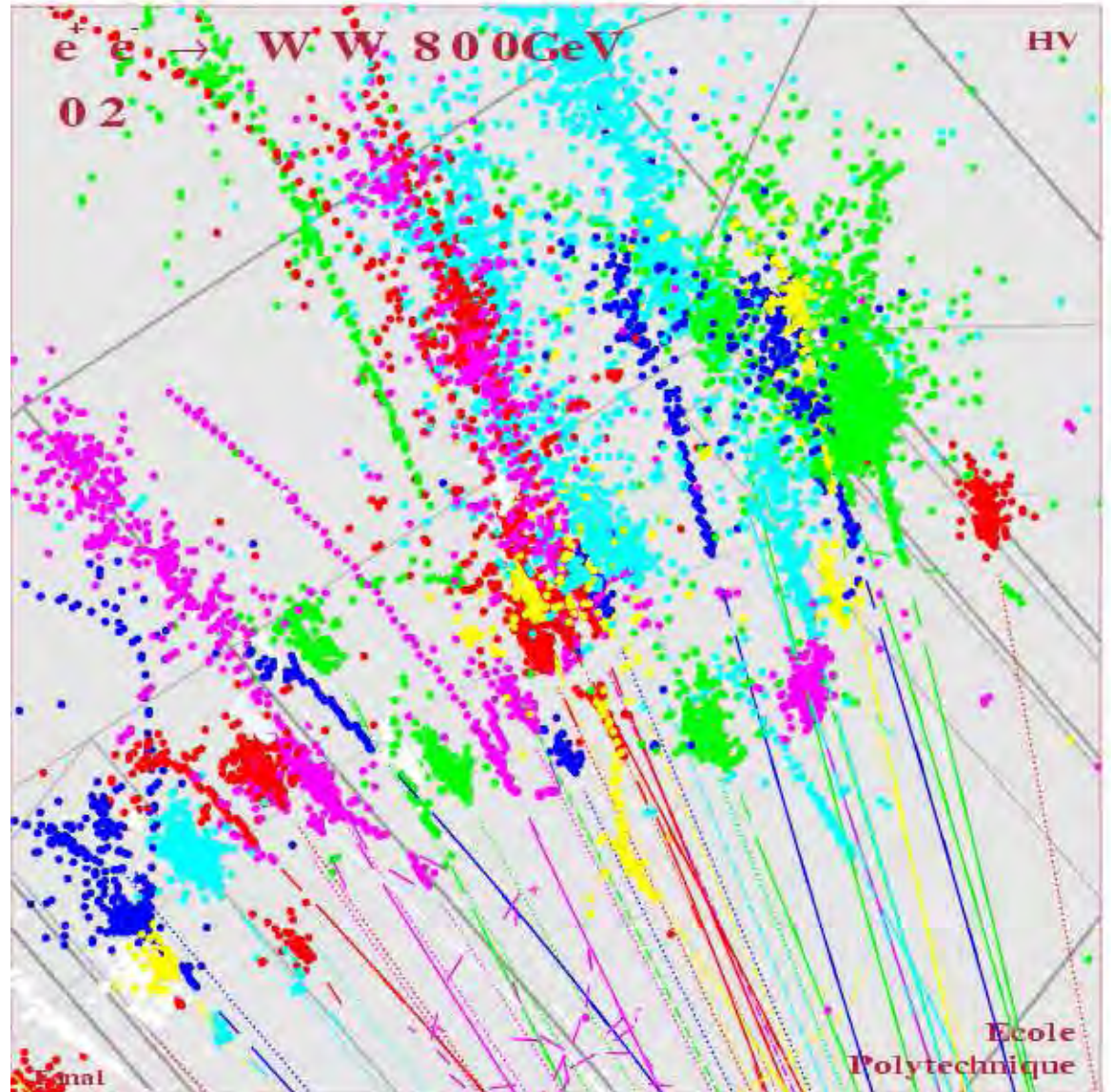
# Track-Based Particle Flow Concept

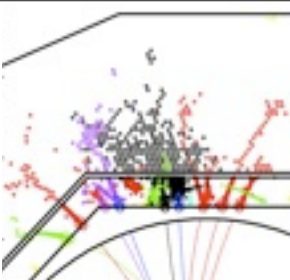
1. tracking (Silicon and TPC)
2. find photon candidates
3. extrapolate tracks into Calorimeter
  - different models, with and w/o energy loss, multiple scattering, ...
  - dedicated Geometry description needed
4. assign MIP stub to track, find muons
5. clustering (ECAL and HCAL)
  - variable, depending on track and photon candidates
  - different algorithms
6. particle ID for  $e^{+/-}$ ,  $h^{+/-}$
7. remove 'charged' Calorimeter hits
8. clustering on 'neutral' hits
9. particle ID for photons and  $h^0$



## Main problem: Confusion

- At high energy jets are very narrow
- Tracks are very close at the calorimeter
- Need very fine granularity of calorimeter and sophisticated software to separate showers
- Energy resolution still dominated by confusion term

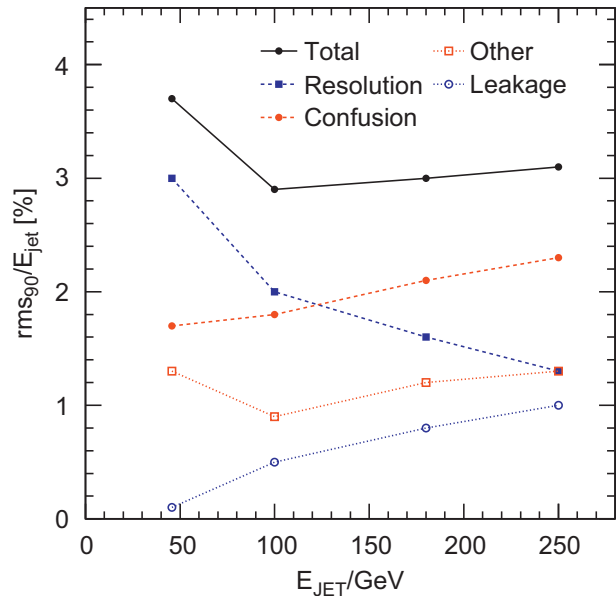
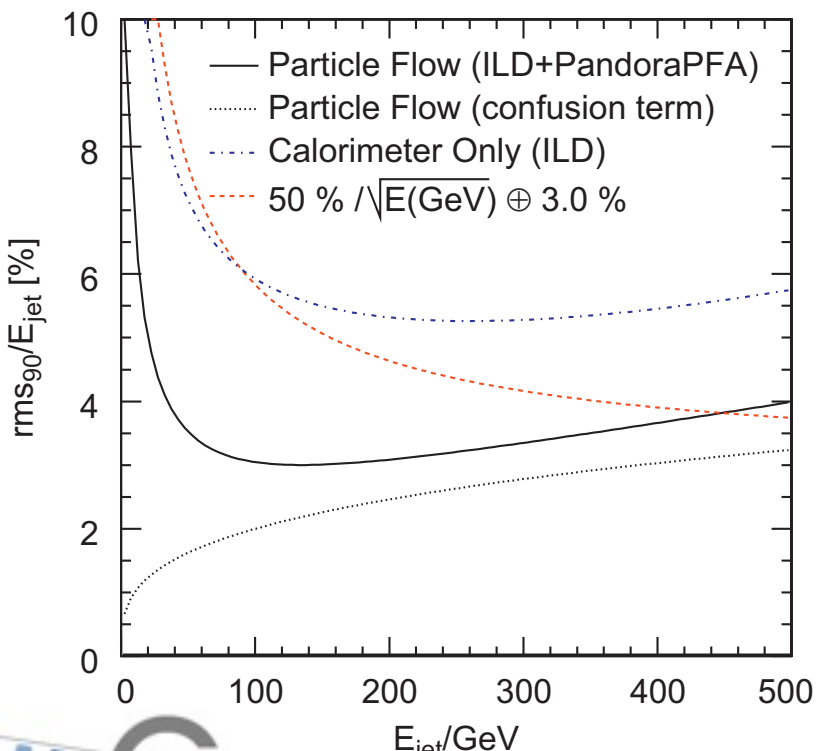




# Understand particle flow performance

$$\frac{\sigma_E}{E} = \frac{21}{\sqrt{E}} \oplus 0.7 \oplus 0.004E \oplus 2.1 \left( \frac{E}{100} \right)^{+0.3} \%$$

Resolution      Tracking      Leakage      Confusion



- Particle flow is always better
  - even at high jet energies
- HCAL resolution does matter
  - also for confusion term
- Leakage plays a role, too

# Kalorymetry

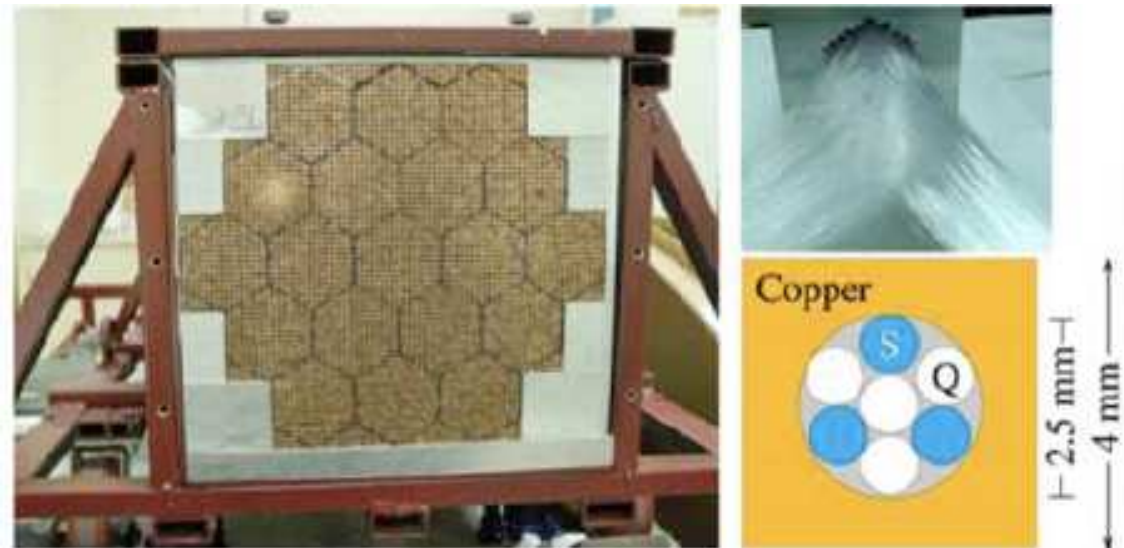
## Nowe koncepcje

### Projekt DREAM

Kalorymetr o podwójnym odczycie:

- “klasyczne” scyntylatory  
pomiar wszystkich składowych  
kaskady
- czyste włókna, w których  
cząstki emitują promieniowanie  
Czerenkowa  
pomiar głównie składowej EM

### Prototyp



19 wież

36 000 włókien o średnicy 0.8 mm

# Kalorymetry

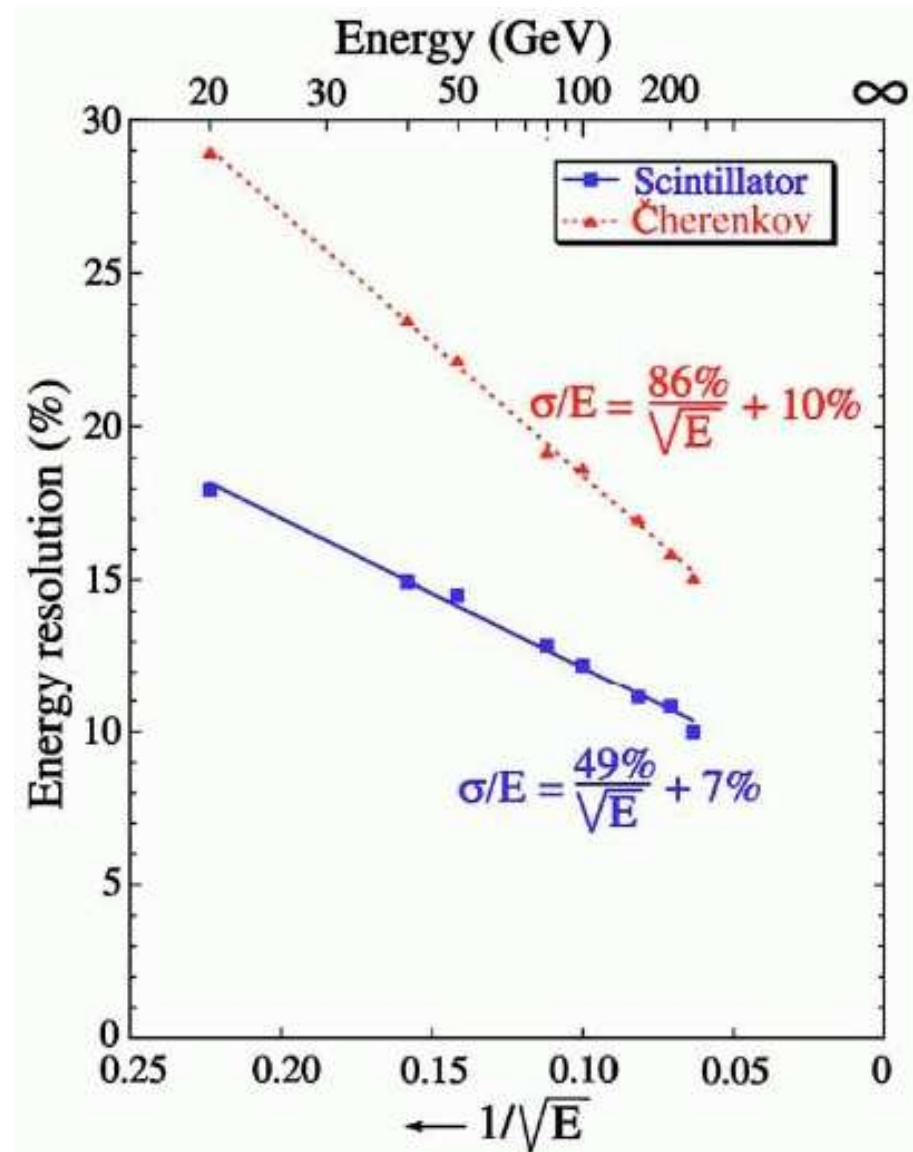
## Nowe koncepcje

Wyniki testowe DREAM

Rozdzielczość w funkcji energii padającego pionu.

Każdy z odczytów działa poprawnie i pozwala na niezależny pomiar.

Uzyskiwane rozdzielczości nie są jednak zadawalające.



## Kalorymetry

### Nowe koncepcje

Dwa niezależne pomiary energii cząstki pierwotnej:

$$E_{Sci} = (f_{em} + (1 - f_{em})/\eta_{Sci}) \cdot E$$

$$E_{Cz} = (f_{em} + (1 - f_{em})/\eta_{Cz}) \cdot E$$

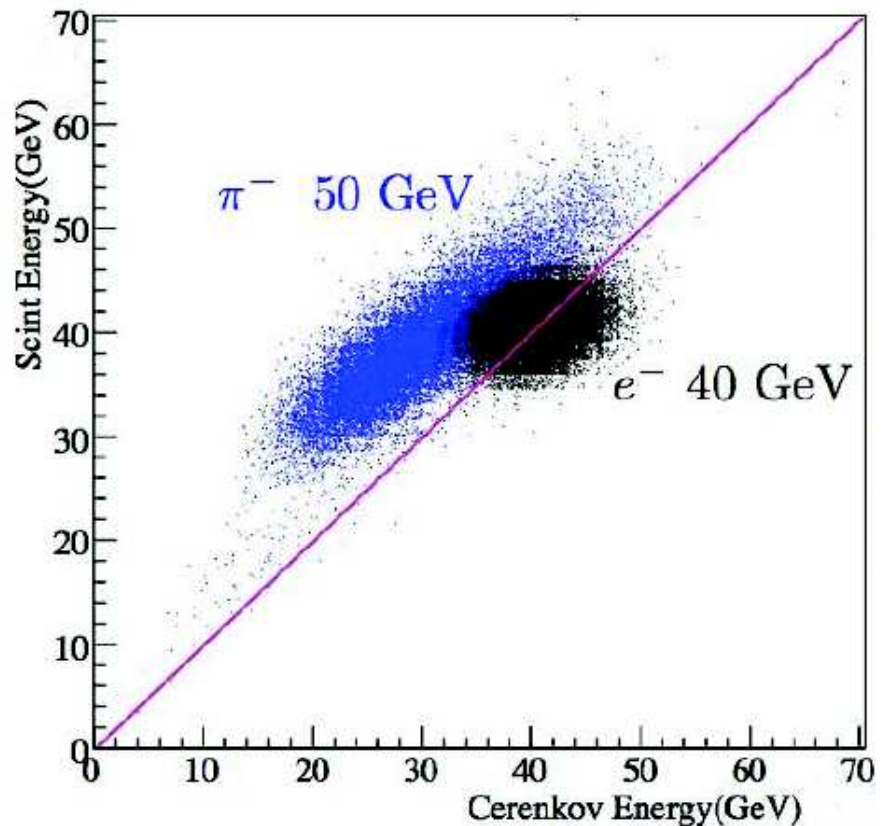
Znając współczynniki tłumienia składowej hadronowej w obu odczytach

$$\eta_{Sci} \approx 1.4$$

$$\eta_{Cz} \approx 5.0$$

możemy z dwóch pomiarów wyznaczyć  $f_{em}$  i  $E$

⇒ znacznie lepsza zdolność rozdzielcza

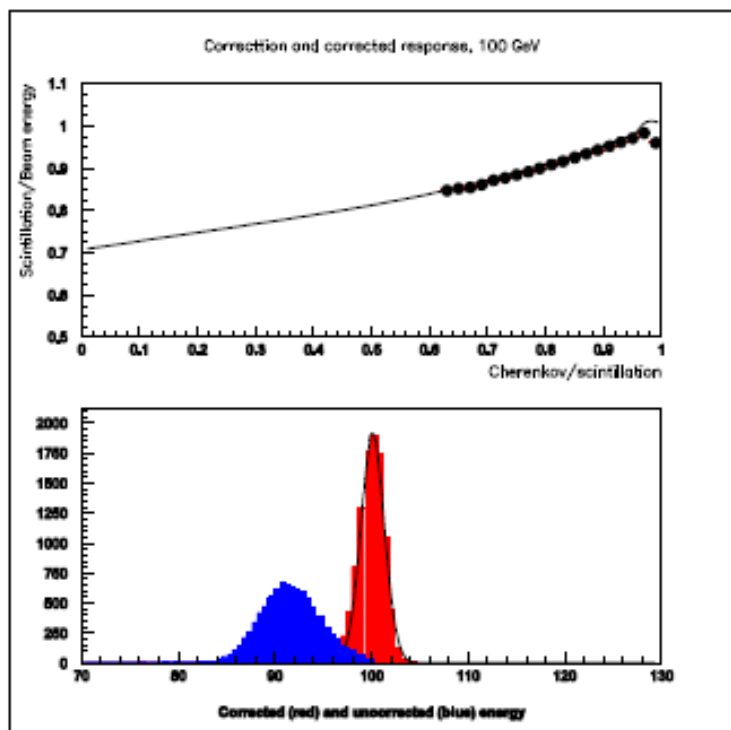


# Kalorymetry

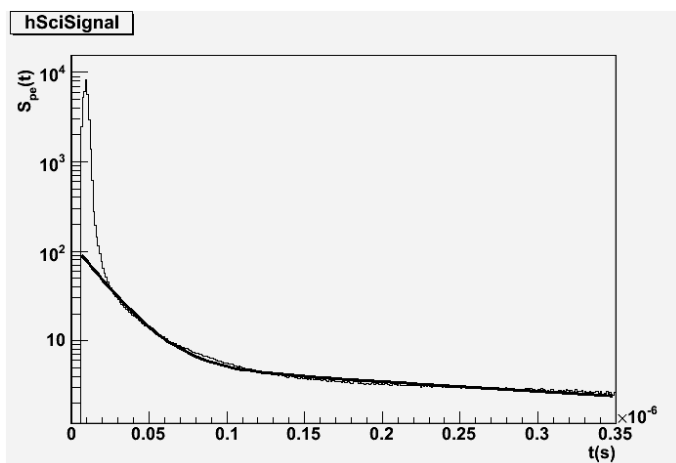
## Nowe koncepcje

Podwójny odczyt pozwala na uzyskanie

$$\frac{\sigma_E}{E} \approx \frac{35\%}{\sqrt{E}} \oplus 1.5\%$$



Jeśli wykorzystamy scyntylator organiczny o długim czasie wyświetlania  $\Rightarrow$  możemy zrekonstruować opóźnioną składową od neutronów



- $\Rightarrow$  dodatkowa informacja o stratach w procesach jądrowych
- $\Rightarrow$  dalsze polepszenie pomiaru energii

# Kalorymetry

## Nowe koncepcje

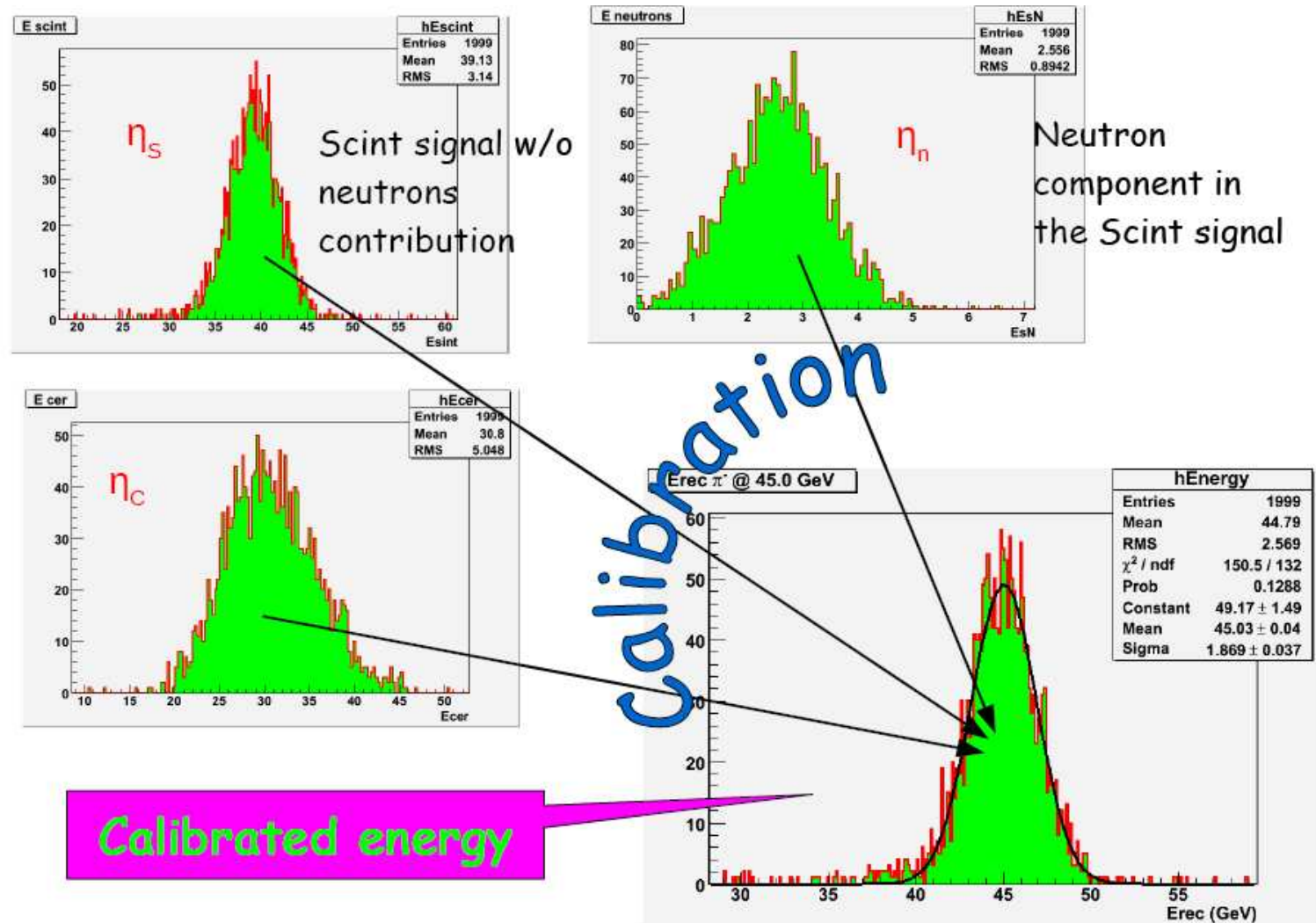
Potrójny odczyt:

- scyntylacja
- p. Czerenkowa
- neutryny

pozwala uzyskać

$$\frac{\sigma_E}{E} \approx \frac{26\%}{\sqrt{E}} \oplus 1.5\%$$

Symulacja dla  
detektora przy ILC



# Kalorymetry

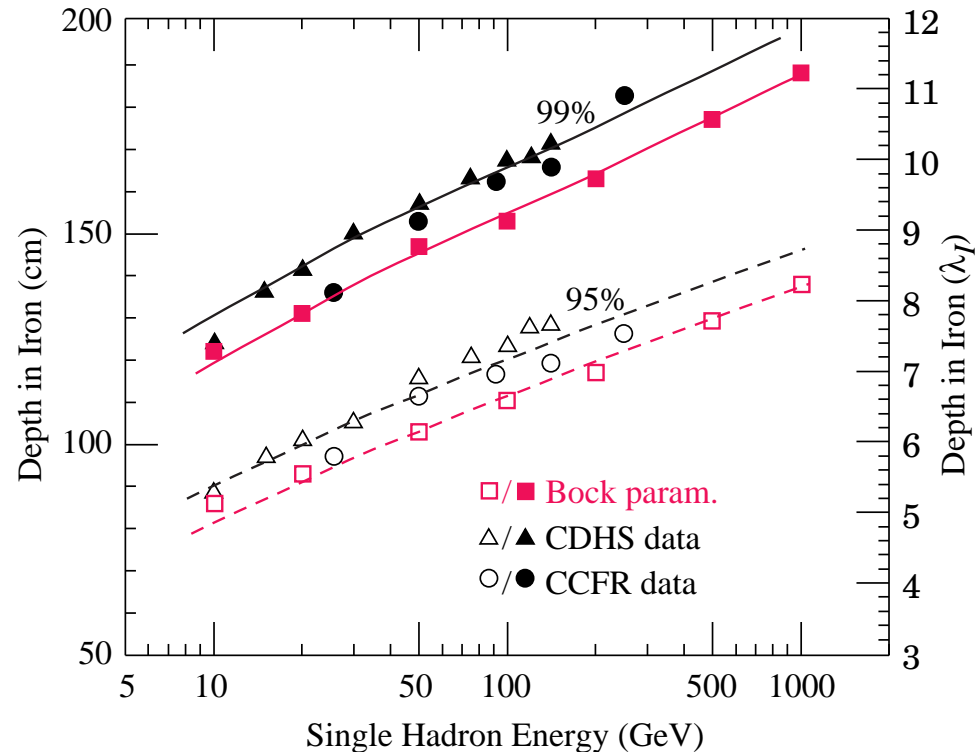
## Wypływy energii

Grubość warstwy absorbera potrzebna do “zatrzymania” kaskady hadronowej rośnie logarytmicznie z energią.

Haskady hadronowe podlegają bardzo dużym fluktuacjom.

Stosunkowo łatwo zatrzymać 95% kaskad.

Żeby zawsze zatrzymać 99% kaska głębokość kalorymetru musi wzrosnąć o prawie  $3 \lambda_{int}$



Wszystkich kaskad (100%) praktycznie nie możemy zatrzymać

⇒ ma to istotny wpływ na dokładność pomiaru energii

Kluczowe w przypadku poszukiwania “nowej fizyki” (brakująca energia)

# Kalorymetry

## Wypływy energii

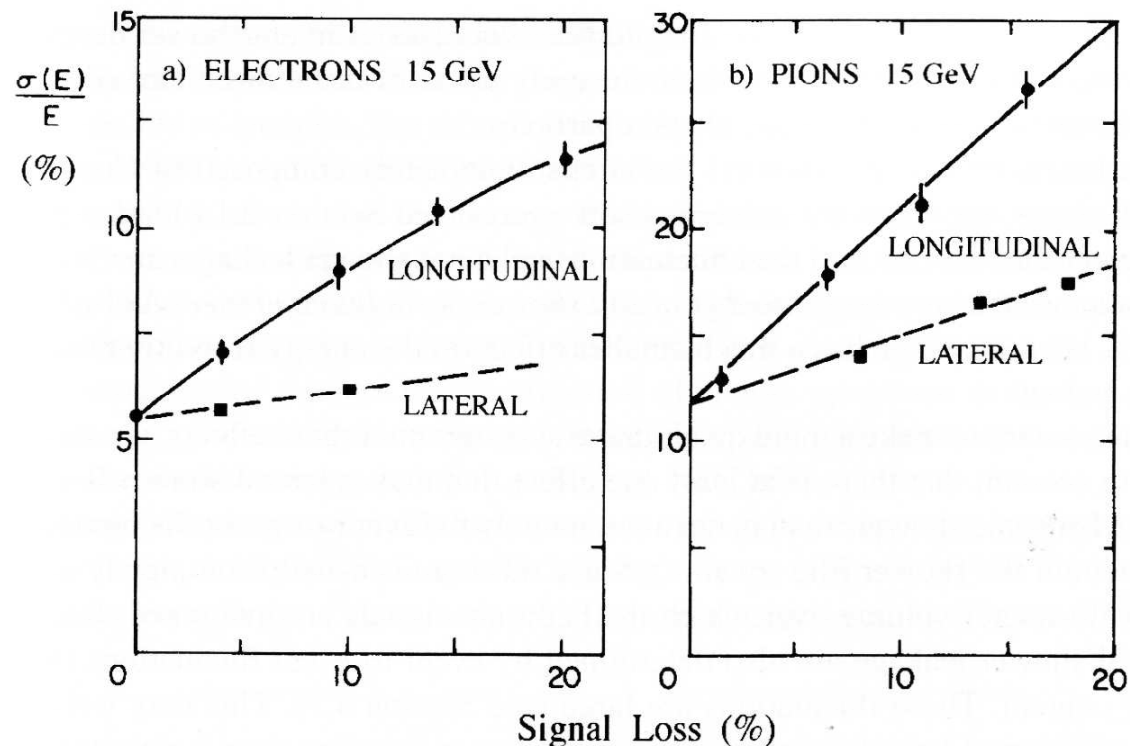
Wpływ wypływów energii na dokładność pomiaru (w przypadku braku poprawek)

Parametryzacja:

$$\frac{\sigma}{E} \approx \left. \frac{\sigma}{E} \right|_{f=0} (1 + 2f\sqrt{E})$$

$f$  - ułamek traconej energii

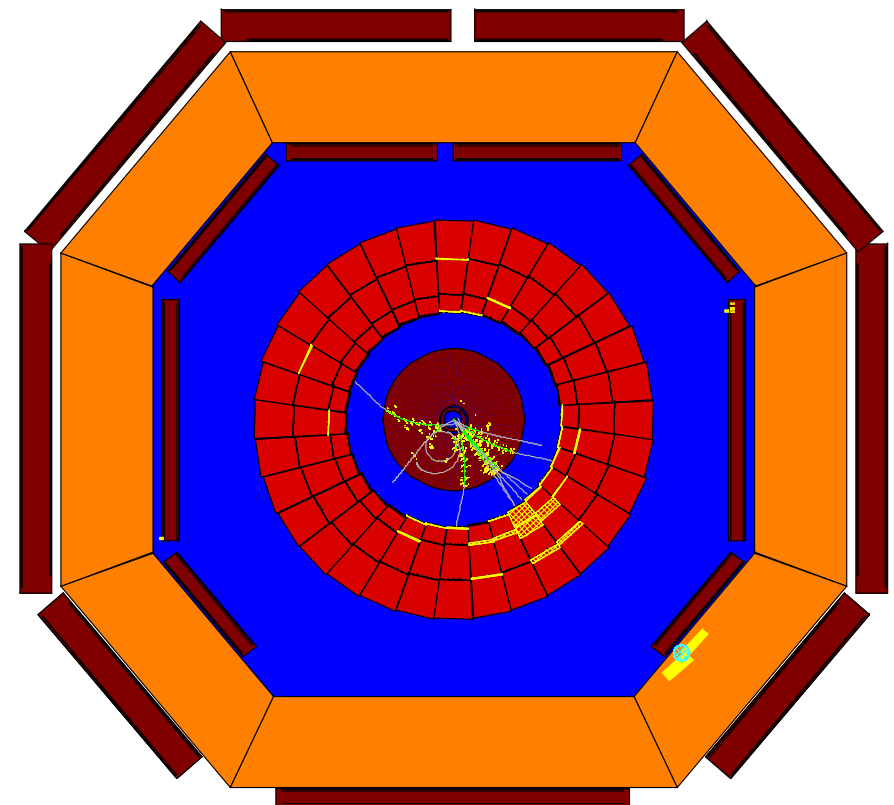
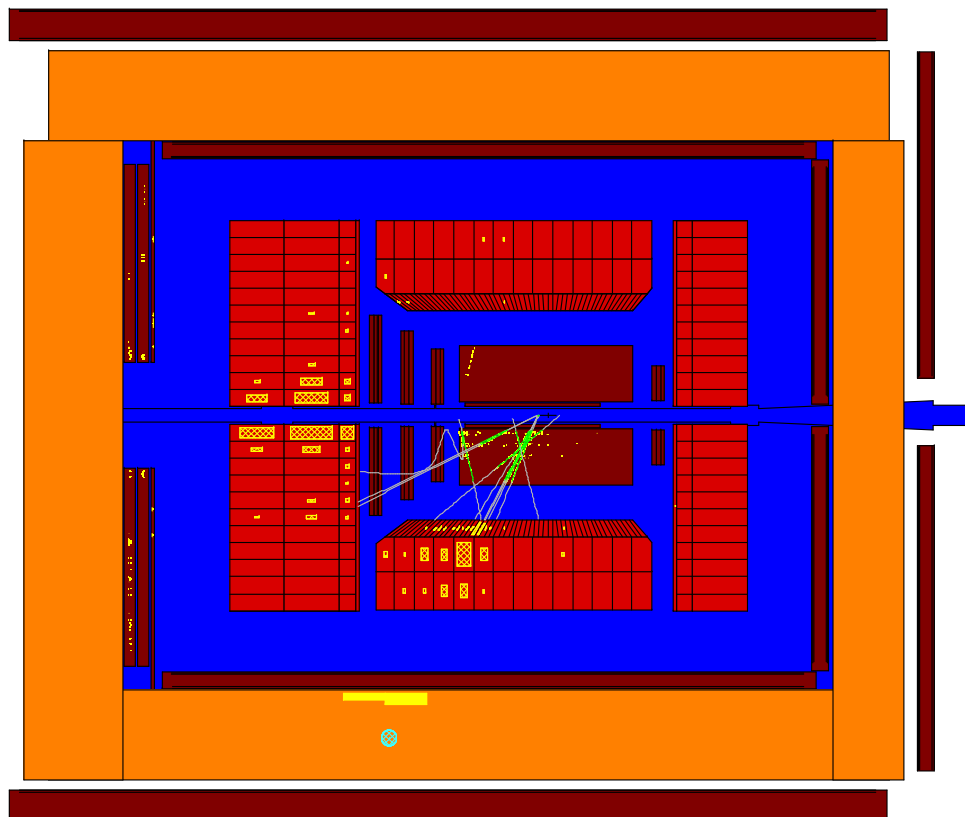
Aby zapewnić dokładny pomiar energii trzeba przynajmniej rozpoznawać takie przypadki.



# Kalorymetry

## Wypływy energii

Wypływ energii jetu obserwowany w kalorymetrze uzupełniającym detektora ZEUS



## Kalorymetry

### Wypływy energii

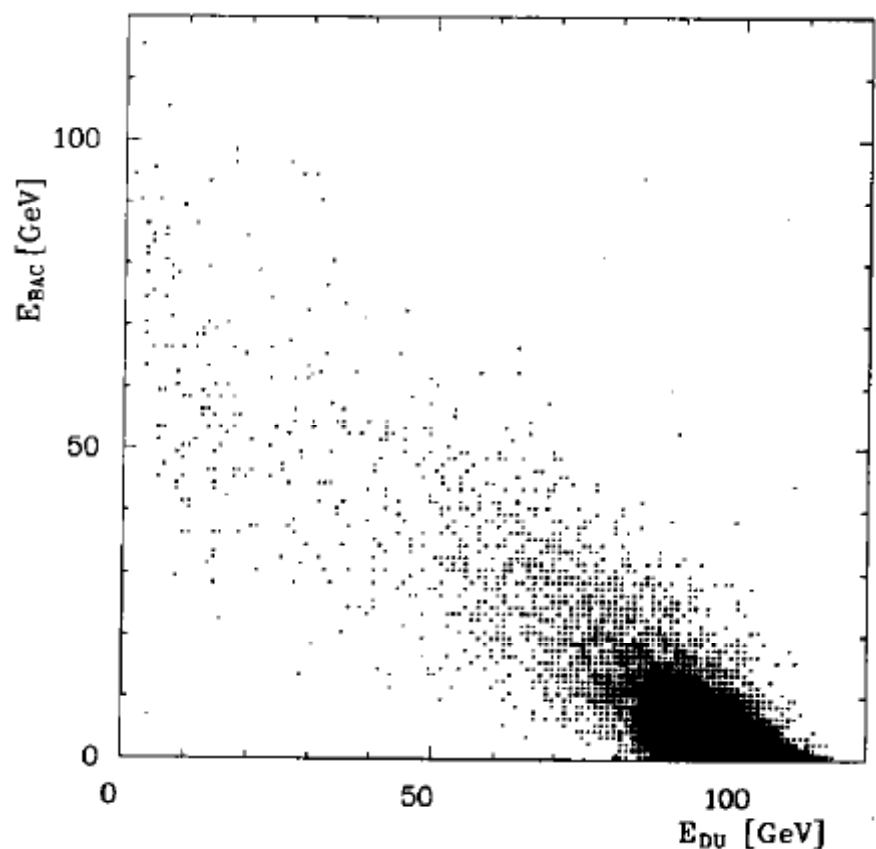
W detektorze ZEUS tzw. **kalorymetr uzupełniający (BAC)** wykorzystywał płyty stalowe jarzma elektromagnesu, pomiędzy które wstawiono aluminiowe komory proporcjonalne.

Zbudowany przez grupę IFD UW, we współpracy z IPJ i AGH Kraków.

Rozdzielczość BAC:

$$\frac{\sigma_E}{E} \approx \frac{120\%}{\sqrt{E}}$$

Korelacja mierzonych energii - dane testowe

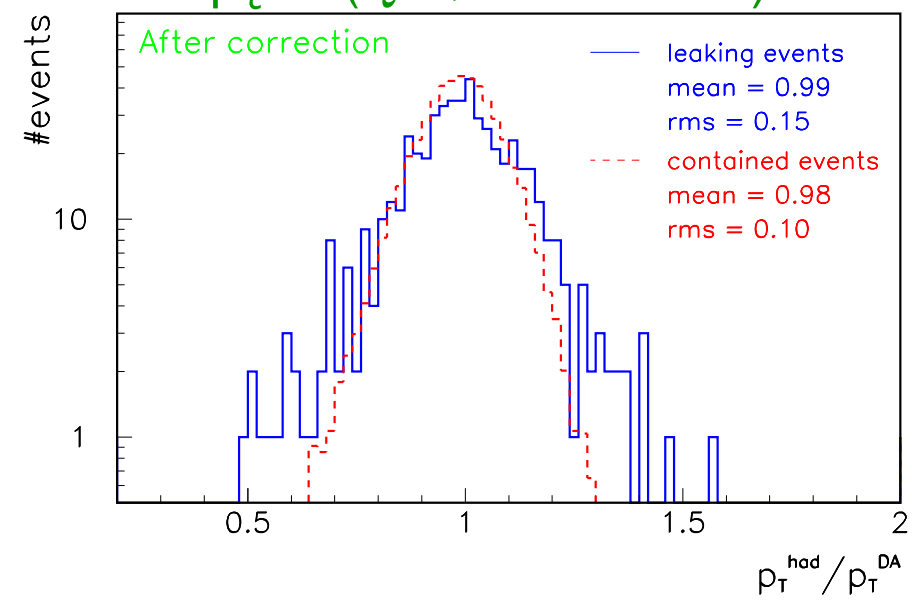
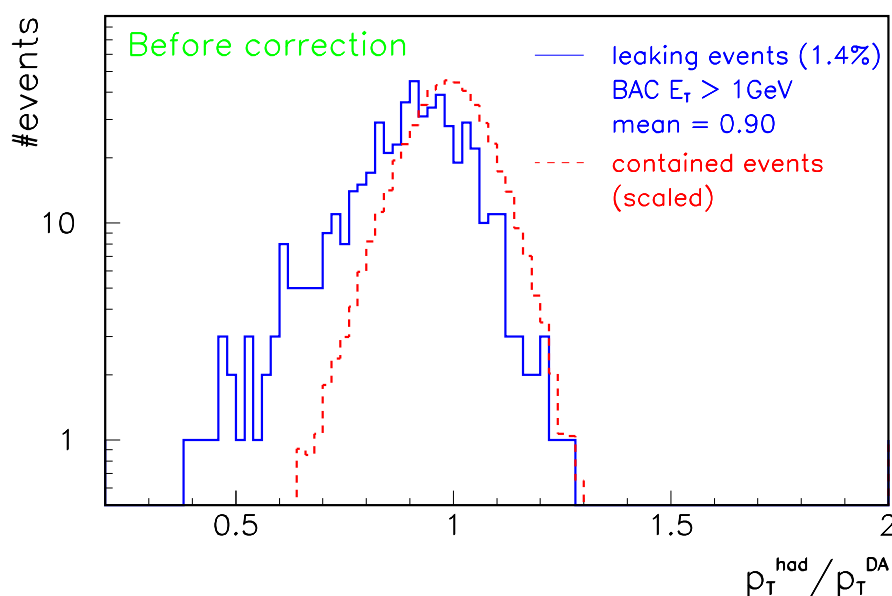


# Kalorymetry

## Wypływy energii

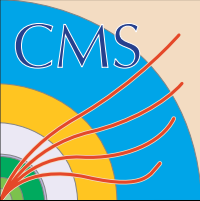
Wpływ kalorymetru uzupełniającego na pomiar pędu poprzecznego jetu.

Próbka przypadków NC DIS z dużym przekazem czteropędu ( $Q^2 > 200\text{GeV}^2$ )



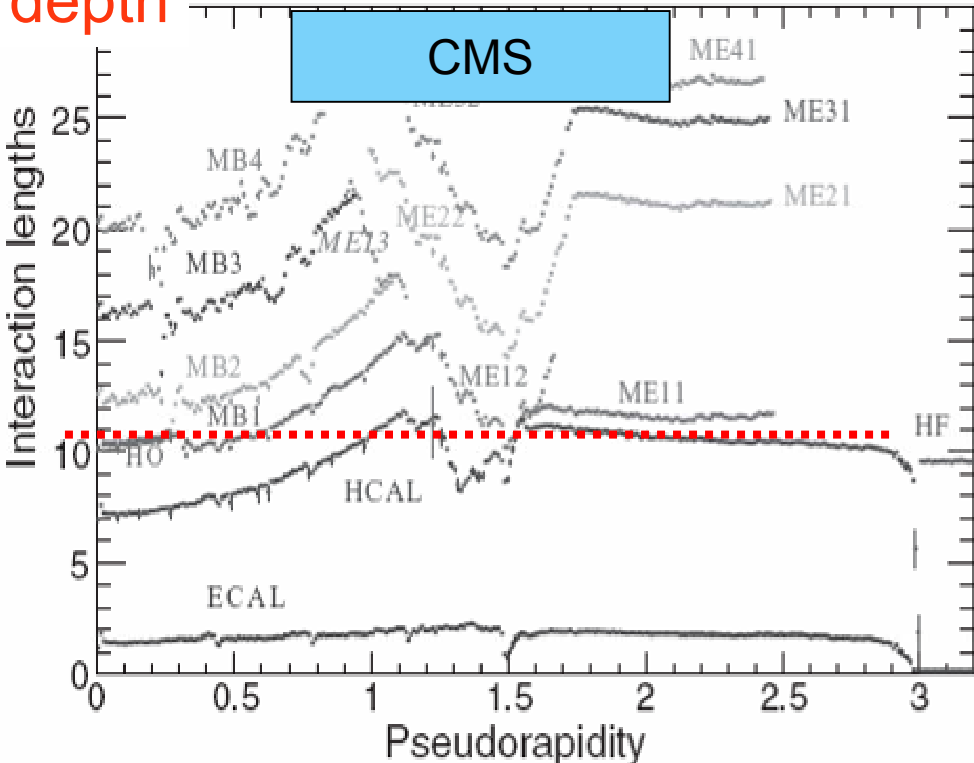
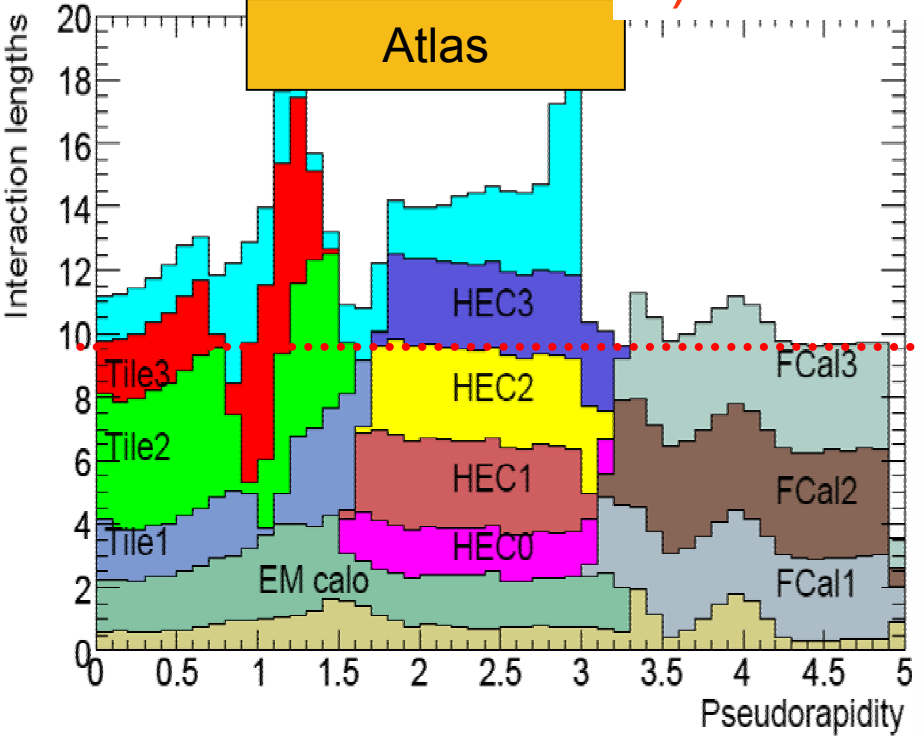
Mimo dużo gorszej zdolności rozdzielczej może efektywnie “odcinać” wypływające kaskady, lub poprawiać ich energię.

W innych eksperymentach tego typu kalorymetr określany jest najczęściej mianem “tail catcher”

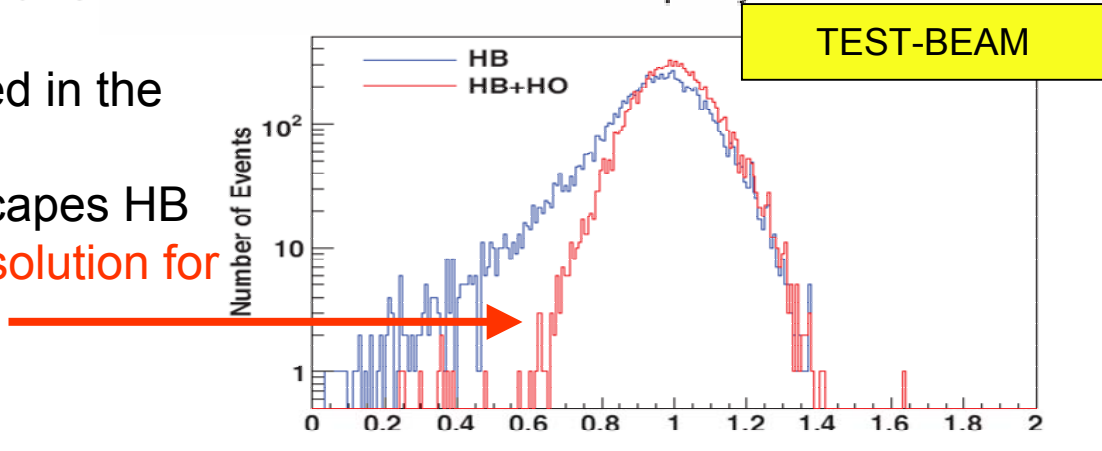


# Depth effect on energy resolution

2) Limited depth



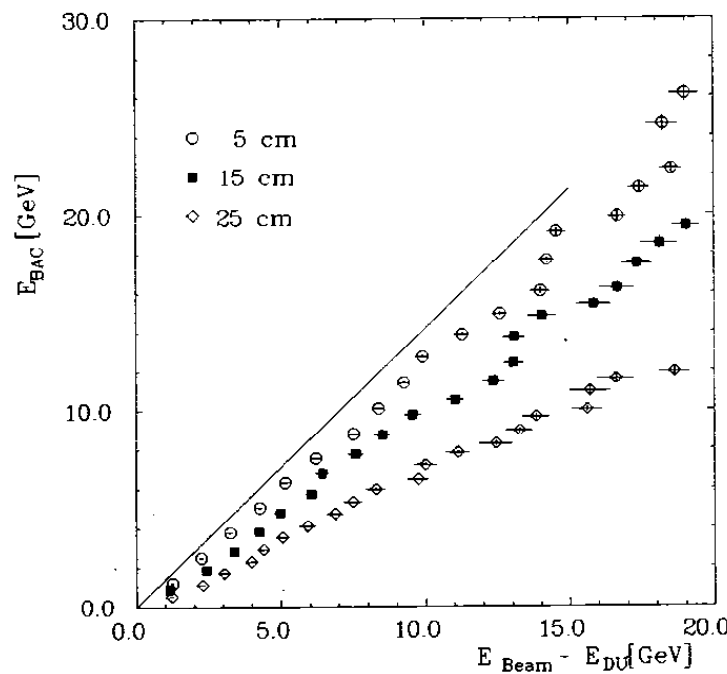
- CMS HB is compact and contained in the solenoid
- 5% of a 300 GeV pion energy escapes HB
- CMS HO improves the energy resolution for pions of 300 GeV and linearity



# Kalorymetry

## Wypływy energii

Wyraźna korelacja między odpowiedzią BAC i energią brakującą w kalorymetrze centralnym nawet jeśli pomiędzy nimi jest gruba warstwa niekatywna (wyniki testów)



Tail catcher istotnie poprawia pomiar energii nawet jeśli jest umieszczony za solenoidem o grubości  $1.5\lambda_{int}$  (wyniki symulacji)

